

บทที่ 4

ผลการทดลองและวิเคราะห์ผลการทดลอง

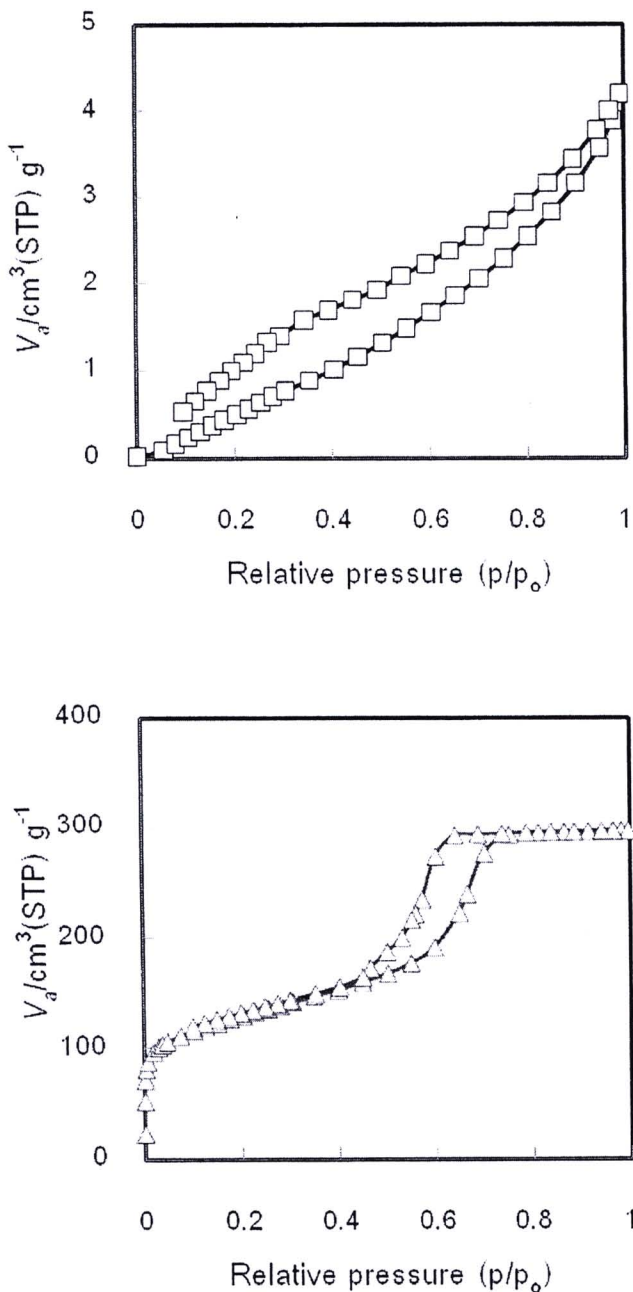
4.1 ศึกษาอิทธิพลของสารลดแรงตึงผิว Pluronic F127 อัตราส่วนโดยไม่ระบุว่าเรซิชีนอลต่อฟอร์มอลดีไฮด์ ปริมาณโลหะและประเภทของโลหะทรายซีซันที่มีผลต่อลักษณะและสมบัติรูปทรง

การศึกษาลักษณะและสมบัติของรูปทรงของวัสดุคาร์บอนรูปทรงที่ปราศจากโลหะทรายซีซัน และวัสดุคาร์บอนรูปทรงที่ร่องรับโลหะทรายซีซัน ที่สามารถเตรียมได้จากการเติมเกลือโลหะลงรีโซโนนอล/ฟอร์มอลดีไฮด์เจลโดยตรงผ่านกระบวนการโซล-เจลที่เงื่อนไขในการสังเคราะห์แตกต่างกัน โดยวิธีการดูดซับ-การคายซับของไนโตรเจนเพื่อหาพื้นที่ผิวและปริมาตรของรูปทรง ซึ่งวิเคราะห์ได้ด้วยวิธี Brunauer–Emmett–Teller (BET) และการกระจายตัวของขนาดรูปทรงวิเคราะห์ได้ด้วยวิธี Barret–Joyner–Halenda (BJH)

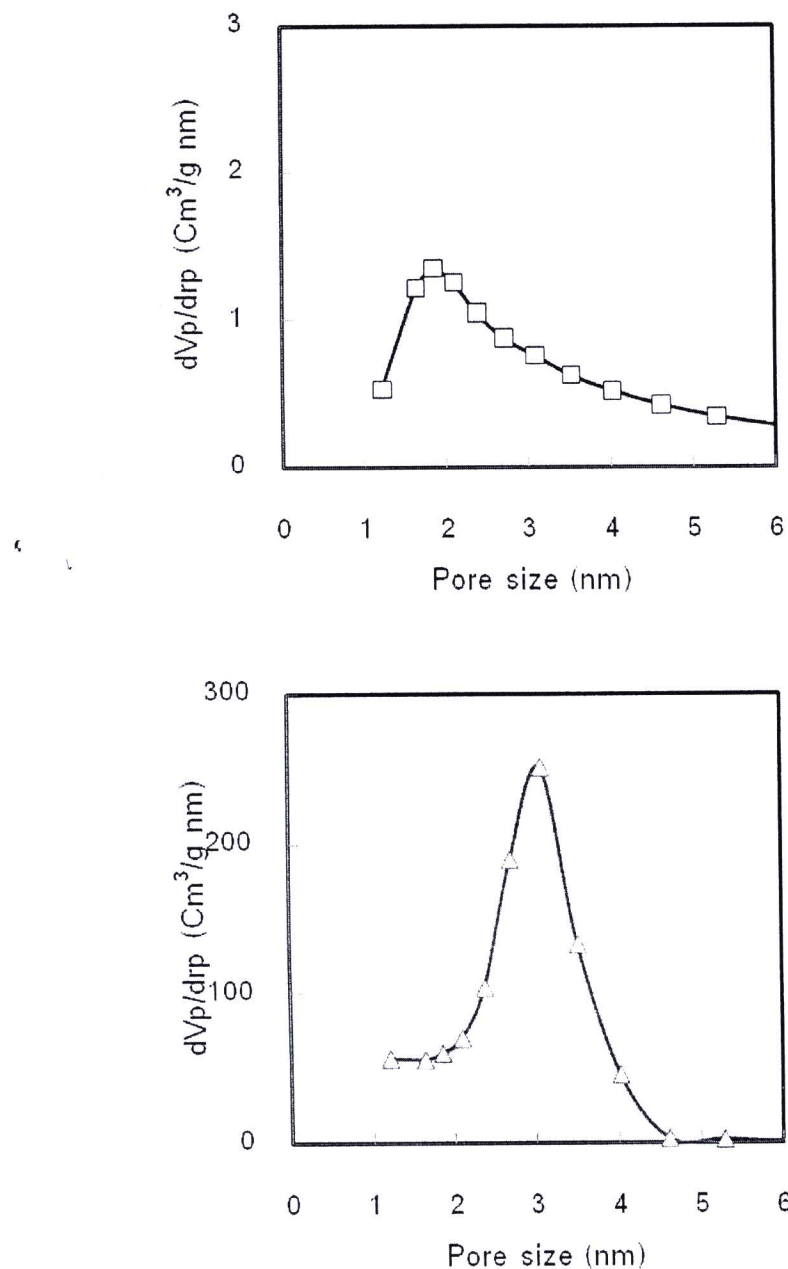
4.1.1 ศึกษาอิทธิพลของสารลดแรงตึงผิว Pluronic F 127 ต่อลักษณะและสมบัติรูปทรง

โดยทั่วไปการสังเคราะห์วัสดุคาร์บอน จากรูปทรงรีโซโนนอล/ฟอร์มอลดีไฮด์เจลด้วยกระบวนการโซล-เจล และอบแห้งเจลด้วยลมร้อนเพื่อการเกิดรูปทรงในเนื้อของ RF gel วัสดุคาร์บอนรูปทรงที่สังเคราะห์ได้แสดงความเป็นรูปทรงค่อนข้างต่ำ เพื่อรักษาความเป็นรูปทรงของวัสดุคาร์บอนที่สังเคราะห์งานวิจัยนี้จึงเลือก Pluronic F127 เป็นตัวแทนแม่แบบ (Template) ศึกษาทำหน้าที่สร้างแบบจำลองโครงสร้างเพื่อวัดรูปทรงในเนื้อของ RF gel เมื่อผ่านกระบวนการอบแห้งด้วยลมร้อน โดยสังเคราะห์วัสดุคาร์บอนรูปทรงที่ไม่ใช้ Pluronic F127 เปรียบเทียบกับวัสดุคาร์บอนรูปทรงที่ใช้ Pluronic F127 วัสดุคาร์บอนที่สังเคราะห์ได้ทั้งสอง เมื่อนำไปวิเคราะห์ด้วยวิธีการดูดซับ-การคายซับในไนโตรเจน พบร่วมกับวิธีการดูดซับ-การคายซับในไนโตรเจน (N_2 adsorption-desorption isotherm) ของวัสดุคาร์บอนที่ไม่ใช้ Pluronic F127 เป็นไอโซเทอร์มประเภทที่ แสดงถึงมีความสามารถในการดูดซับที่ต่ำ (แสดงดังรูปที่ 4.1) ซึ่งบ่งบอกได้ว่าวัสดุคาร์บอนที่สังเคราะห์ได้เป็นวัสดุคาร์บอนที่ไม่มีรูปทรงหรือมีรูปทรงน้อยมาก เมื่อเปรียบเทียบกับวัสดุคาร์บอนที่ใช้ Pluronic F127 ที่เป็นไอโซเทอร์มประเภทที่ 4 ปรากฏว่ามีไฮสเตอริซิส (Hysteresis loop) ซึ่งแสดงดังรูปที่ 4.1 พิรุณทั้งสามารถบ่งบอกได้ว่าวัสดุคาร์บอนที่สังเคราะห์ได้เป็นวัสดุ

คาร์บอนดูพูนแบบเมโซ เมื่อนำค่าการดูดซับ-การชายซับในตอรเจนที่ได้ไปคำนวณหาพื้นที่ผิวและปริมาตรของดูพูนด้วยวิธี Brunauer–Emmett–Teller และศึกษาการกระจายตัวของขนาดดูพูนด้วยวิธี Barret–Joyner–Halenda พบร่วมกับสัดคาร์บอนที่สังเคราะห์ได้ที่ไม่ใช้ Pluronic F127 มีพื้นที่ผิวและปริมาตรของดูพูนเท่ากับ 5 ตารางเมตรต่อกรัมและ 0.0006 ลูกบาศก์เมตรต่อกรัมตามลำดับ (แสดงดังตารางที่ 4.1) พร้อมทั้งแสดงลักษณะการกระจายตัวของขนาดดูพูนอยู่ในช่วงที่กว้าง (แสดงดังรูปที่ 4.2) เมื่อเปรียบเทียบกับวัสดุคาร์บอนที่สังเคราะห์ได้ที่ใช้ Pluronic F127 มีพื้นที่ผิวและปริมาณดูพูนสูงถึง 444 ตารางเมตรต่อกรัมและ 0.48 ลูกบาศก์เมตรต่อกรัมตามลำดับ (แสดงดังรูปที่ 4.2) ปรากฏช่วงการกระจายตัวของขนาดดูพูนอยู่ในช่วงที่แคบและมีขนาดดูพูน ($2 \times r_p$) เท่ากับ 6.18 นาโนเมตร ซึ่งผลที่ได้ลดลงคล้ายกับผลของไอโซเทอร์มที่เสนอ ก่อนหน้านี้ (แสดงดังรูปที่ 4.2) อย่างไรก็ตาม ผลที่ได้สามารถอธิบายได้จาก ในระหว่างกระบวนการครอบแห้งน้ำและตัวทำละลายจะระเหยออกจากโครงสร้างของ RF gel ซึ่งส่งผลให้เกิดดู พูนในเนื้อของ RF gel ปรากฏขึ้น แต่ในกรณีของการครอบแห้งด้วยลมร้อน จะเกิดการหดตัวของ เจลอย่างมากทำให้สูญเสียโครงสร้างดูพูนไปในระหว่างเกิดการระเหยของน้ำและตัวทำละลาย จากสาเหตุดังกล่าวส่งผลให้มีความเป็นดูพูนค่อนข้างต่ำ ในขณะที่วัสดุคาร์บอนที่สังเคราะห์ได้ที่ใช้ Pluronic F127 ทำหน้าที่สร้างแบบจำลองโครงสร้าง แสดงความเป็นดูพูนค่อนข้างสูง เนื่องจาก Pluronic F127 เกิดการจัดเรียงโครงสร้างฟอร์มตัวเป็นไมเซลล์ (Micelles) ในระหว่างกระบวนการครอบแห้งด้วยลมร้อนจะเกิดการหดตัวของเจลอย่างมาก แต่ Pluronic F127 ยังคงอยู่ใน เนื้อเจล นอกเหนือนี้ Pluronic F127 มีองค์ประกอบที่เป็นออกซิเจน (O_2) และไฮโดรเจน (H_2) สูง ส่งผลให้มีความเสถียรทางความร้อนต่ำ (Meng และคณะ (2006)) จึงสามารถกำจัดได้ในระหว่างกระบวนการเผาให้เป็นคาร์บอนและเกิดดูพูนปรากฏขึ้น ด้วยเหตุนี้ Pluronic F127 จึงสามารถ เกิดดูพูนภายใต้วัสดุคาร์บอนที่สังเคราะห์ได้และรักษาความเป็นดูพูนในเนื้อของ RF gel ได้



รูปที่ 4.1 ไอโซเทอร์มในการดูดซับ-คายซับในไตรเจน (Nitrogen adsorption-desorption isotherm) ที่ -196 องศาเซลเซียส ของ (□) วัสดุcarbonอุดรูพุ่งที่ปราศจากโลหะทรานซิชันที่ไม่ใช้ Pluronic F127 และ (Δ) วัสดุcarbonอุดรูพุ่งที่ปราศจากโลหะทรานซิชันที่ใช้ Pluronic F127 หลังจากการเผาให้เป็นcarbonbonที่อุณหภูมิ 800 องศาเซลเซียส ภายใต้ก๊าซไนโตรเจนที่อัตราส่วนโดยไม่ลดลงระหว่างR/F เท่ากับ $1:1.4$



รูปที่ 4.2 การกระจายตัวของขนาดรูพรุนของ (□) วัสดุคาร์บอนรูพรุนที่ปราศจากโลหะทรายชิ้นที่ไม่เติม Pluronic F127 และ (△) วัสดุคาร์บอนรูพรุนที่ปราศจากโลหะทรายชิ้นที่ไม่เติม Pluronic F127 หลังจากการเผาให้เป็นคาร์บอนที่อุณหภูมิ 800 องศาเซลเซียส ภายใต้ก๊าซไนโตรเจนที่อัตราส่วนโดยโมลระหว่าง R/F เท่ากับ 1:1.4

ตารางที่ 4.1 คุณสมบัติเฉพาะของรูปทรงของวัสดุかる์บอนรูปทรงที่ปราศจากโลหะทรายซึ้งที่ไม่ใช่ Pluronic F127 และวัสดุかる์บอนรูปทรงที่ปราศจากโลหะทรายซึ้งที่ใช้ Pluronic F127 ที่อัตราส่วนโดยไม่ระหว่าง R/F เท่ากับ 1:1.4

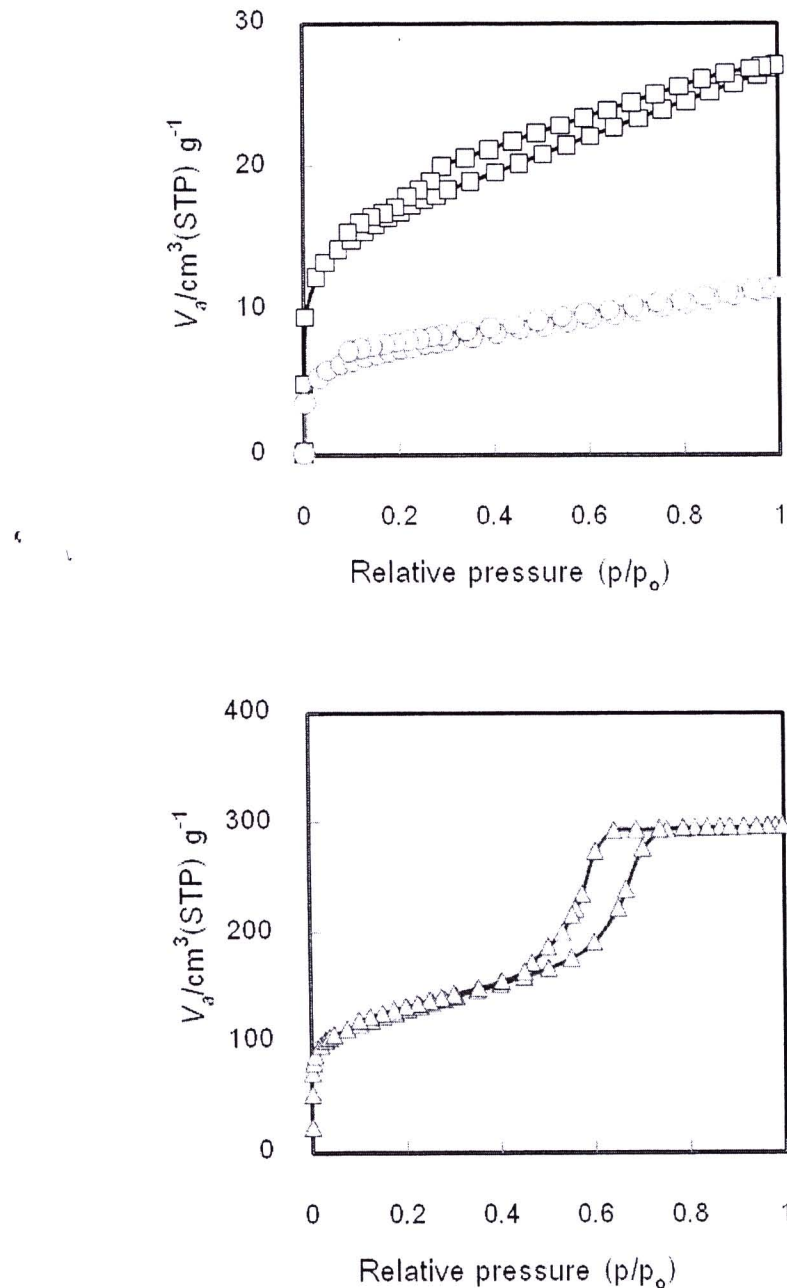
ตัวอย่าง	พื้นที่ผิว (ตารางเมตรต่อกรัม)	r_p (นาโนเมตร)	ปริมาตรรูปทรง (ลูกบาศก์เมตรต่อกรัม)
C-No_F127	5	1.70	0.006
C-F127	444	3.09	0.46

4.1.2 อิทธิพลของอัตราส่วนโดยไม่ระหว่างรีไซซินอลต่อฟอร์มอลดี้ไซด์ (R/F ratio) ต่อลักษณะและสมบัติรูปทรง

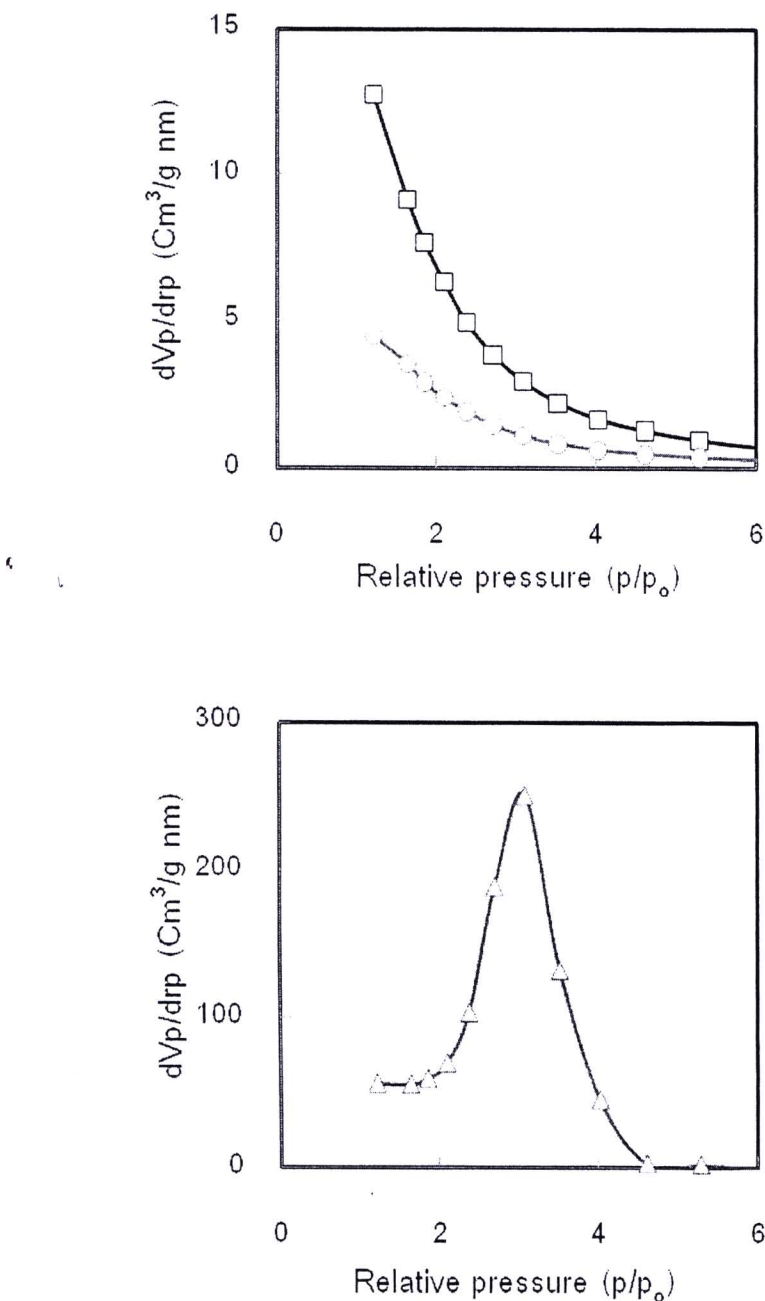
รูปที่ 4.3 ไอโซเทอร์มการดูดซับ-การคายซับในتروเจนของวัสดุかる์บอนที่ปราศจากโลหะทรายซึ้งที่สังเคราะห์ได้ที่อัตราส่วนโดยไม่ระหว่าง R/F เท่ากับ 1:1 และ 1:2 เป็นไอโซเทอร์มประเภทที่ 4 ปรากฏฉลุปอิสเทอเริชนาดเล็กและไม่เด่นชัด ซึ่งบ่งบอกได้ว่าวัสดุかる์บอนที่สังเคราะห์ได้เป็นวัสดุかる์บอนรูปทรงแบบไมโคร-เมโซ และมีพื้นที่ผิวทั้งหมดเท่ากับ 60 และ 25 ตารางเมตรต่อกรัม ตามลำดับ นอกจากนี้ยังพบว่าปริมาตรของรูปทรงค่อนข้างต่ำและมีช่วงการกระจายตัวของขนาดรูปทรงอยู่ในช่วงที่กว้าง (แสดงดังรูปที่ 4.4) และถึงวัสดุかる์บอนรูปทรงทั้งสองที่สังเคราะห์ได้นั้น มีการกระจายของขนาดรูปทรงที่ไม่สม่ำเสมอ เมื่อเปรียบเทียบกับวัสดุかる์บอนที่ปราศจากโลหะทรายซึ้งที่สังเคราะห์ได้ที่อัตราส่วนโดยไม่ระหว่าง R/F เท่ากับ 1:1.4 แสดงไอโซเทอร์มการดูดซับ-การคายซับในتروเจนประเภทที่ 4 ปรากฏฉลุปอิสเทอเริชที่เด่นชัด ซึ่งบ่งบอกถึงวัสดุかる์บอนที่สังเคราะห์ได้เป็นวัสดุかる์บอนแบบเมโซ โดยมีพื้นที่ผิวและปริมาตรรูปทรงสูงถึง 444 ตารางเมตรต่อกรัม และ 0.48 ลูกบาศก์เมตรต่อกรัม (แสดงดังตารางที่ 4.2) และลักษณะการกระจายตัวของขนาดรูปทรงแคบ (แสดงดังรูปที่ 4.4) ลักษณะดังกล่าวสามารถบอกได้ว่าวัสดุかる์บอนรูปทรงที่สังเคราะห์ได้มีขนาดรูปทรงภายในโครงสร้างที่สม่ำเสมอ จากผลดังกล่าวสามารถอธิบายได้จาก พื้นที่ผิวและปริมาตรของรูปทรงของวัสดุかる์บอนที่สังเคราะห์ได้ มาจากการ

กำจัด Pluronic F127 ในระหว่างกระบวนการการเผา โดยที่อัตราส่วนโดยโมลระหว่าง R/F เท่ากับ 1:1 อนุพันธ์ของไฮดรอกซีเมธิล (Hydroxymethyl) ที่จับกับ Pluronic F127 มีปริมาณที่น้อย ในขณะที่ อัตราส่วนโดยโมลระหว่าง R/F เท่ากับ 1:2 อนุพันธ์ของไฮดรอกซีเมธิลที่เกิดขึ้นจับตัวกับ Pluronic F127 ในปริมาณที่มากเกินไป แต่ที่อัตราส่วนโดยโมลระหว่าง R/F เท่ากับ 1:1.4 เกิดการจับตัวกันระหว่างอนุพันธ์ของไฮดรอกซีเมธิลกับ Pluronic F127 ในอัตราส่วนที่เหมาะสม จากผลดังกล่าว ทำให้เกิดโครงสร้างของ RF gel ที่ขอบล้อม Pluronic F127 ที่แตกต่างกันไป รวมทั้งเกิดจากค่า ความเป็นกรด-ด่างของสภาพการสังเคราะห์ไม่เหมาะสม (แสดงดังตารางที่ 4.2) จึงส่งผลให้ ลักษณะโครงสร้างรูปฐานสูญเสียไปหรือถูกทำลาย อย่างไรก็ตามที่อัตราส่วนโดยโมลระหว่าง R/F เท่ากับ 1:1.4 เป็นสภาพที่เหมาะสมต่อการสังเคราะห์วัสดุคาร์บอนรูปฐาน เนื่องจากวัสดุคาร์บอนรูปฐานที่สังเคราะห์ได้ ปราศจากความเป็นรูปฐานและสมบัติรูปฐานที่ดีเมื่อเปรียบเทียบกับอัตราส่วนโดยโมลระหว่าง R/F เท่ากับ 1:1 และ 1:2 โดยผลดังกล่าวสอดคล้องกับงานวิจัยของ Jin และ คณะ (2009) ที่ประสบความสำเร็จในการสังเคราะห์วัสดุคาร์บอนรูปฐานแบบเมโซที่มีการจัดเรียงตัวของรูปฐานอย่างเป็นระเบียบ (Ordered Mesoporous Carbon materials: OMCS) ด้วยการใช้ Pluronic F127 เป็นแม่แบบ ชี้สังเคราะห์ที่อัตราส่วนโดยโมลระหว่าง R/F เท่ากับ 1:1.4 ด้วยเหตุนี้ในงานวิจัยนี้จึงเลือกอัตราส่วนโดยโมลระหว่าง R/F เท่ากับ 1:1.4 เป็นสภาพที่ใช้ในการสังเคราะห์วัสดุคาร์บอนรูปฐานที่รองรับโลหะทรานซิชัน พร้อมทั้งศึกษาอิทธิพลของปริมาณโลหะและประเภทของโลหะทรานซิชันต่อลักษณะและสมบัติรูปฐานของวัสดุคาร์บอนรูปฐานที่สังเคราะห์ได้





รูปที่ 4.3 ไอโซเทอร์มในการดูดซับ-คายซับในไตรเจน (Nitrogen adsorption-desorption isotherm) ที่ -196 องศาเซลเซียส ของ (□) วัสดุคาร์บอนรูพูนที่ปราศจากโลหะทรายซิชันนิกเกิลที่อัตราส่วนโดยโมลระหว่าง R/F เท่ากับ $1:1$ (\triangle) วัสดุคาร์บอนรูพูนที่ปราศจากโลหะทรายซิชันที่อัตราส่วนโดยโมลระหว่าง R/F เท่ากับ $1:1.4$ และ (\circ) วัสดุคาร์บอนรูพูนที่ปราศจากโลหะทรายซิชันที่อัตราส่วนโดยโมลระหว่าง R/F เท่ากับ $1:2$ หลังจากการเผาให้เป็นคาร์บอนที่อุณหภูมิ 800 องศาเซลเซียส ภายในตึกชั้นในไตรเจน



รูปที่ 4.4 การกระจายตัวของขนาดรูปณุนของ (■) วัสดุคาร์บอนรูปณุนที่ปราศจากโลหะทรายชิ้นนิกเกิลที่อัตราส่วนโดยโมลระหว่าง R/F เท่ากับ 1:1 (\triangle) วัสดุคาร์บอนรูปณุนที่ปราศจากโลหะทรายชิ้นนิกเกิลที่อัตราส่วนโดยโมลระหว่าง R/F เท่ากับ 1:1.4 และ (\circ) วัสดุคาร์บอนรูปณุนที่ปราศจากโลหะทรายชิ้นนิกเกิลที่อัตราส่วนโดยโมลระหว่าง R/F เท่ากับ 1:2 หลังจากการเผาให้เป็นคาร์บอนที่อุณหภูมิ 800 องศาเซลเซียส ภายในตึกเจน

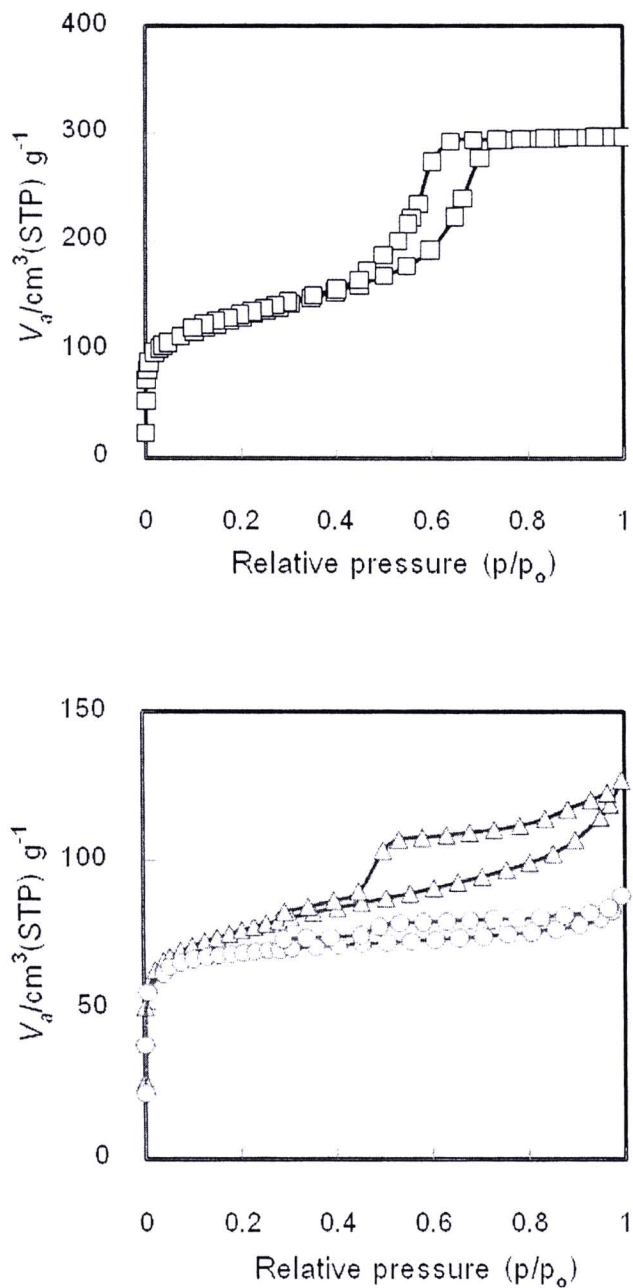
ตารางที่ 4.2 คุณสมบัติเฉพาะของรูปรุนของวัสดุかる์บอนรูปรุนที่ปราศจากโลหะทรายซีชัน สังเคราะห์ที่อัตราส่วนโดยมิลละห่วงรีโซชินอลต่อฟอร์มอลดีไฮด์เท่ากับ 1:1 1:1.4 และ 1:2

ตัวอย่าง	ความเป็นกรด-ด่าง เริ่มต้น (Initial pH)	พื้นที่ผิว (ตารางเมตรต่อกรัม)	r _d (นาโนเมตร)	ปริมาตรรูปรุน (ลูกบาศก์เมตรต่อกรัม)
1:1-C	8.62	60	1.21	0.042
1:1.4-C	7.30	444	3.09	0.46
1:2-C	5.47	25	1.21	0.017

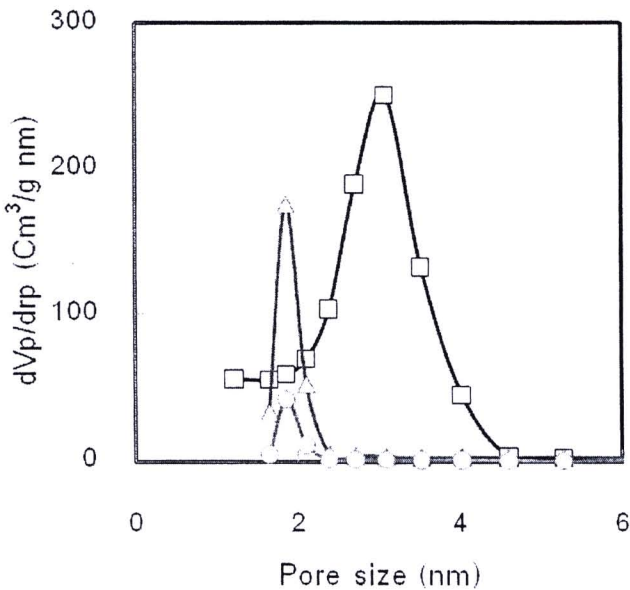
4.1.3 ศึกษาอิทธิพลของปริมาณโลหะนิกเกิลต่อลักษณะและสมบัติรูปรุน

พิจารณากราฟที่ 4.5 ไอโซเทอร์มในการดูดซับ-คายซับในตรีเจน ของวัสดุかる์บอนรูปรุนที่ปราศจากโลหะนิกเกิล พบว่าไอโซเทอร์มประเภทที่ 4 ไอโซเทอร์ม ที่ปราศจากลูปไฮสเทอโรซิสชัดเจน ซึ่งแสดงถึงการพัฒนาของรูปรุนเป็นรูปรุนแบบเมโซและบ่งบอกว่าวัสดุかる์บอนรูปรุนที่สังเคราะห์ เป็นวัสดุかる์บอนรูปรุนแบบเมโซ เมื่อทำการเปรียบเทียบกับวัสดุかる์บอนรูปรุนที่รองรับโลหะนิกเกิลปริมาณร้อยละ 5 และ 10 โดยน้ำหนัก พบว่าไอโซเทอร์มยังคงปราศจากไอโซเทอร์มประเภทที่ 4 แต่ลูปไฮสเทอโรซิสที่ปราศภูมิขนาดเล็กและปราศในช่วงค่าการดูดซับที่ต่ำลง ซึ่งผลดังกล่าว สามารถบอกรู้ว่า สมบัติรูปรุน อย่างพื้นที่ผิวทั้งหมดของรูปรุน ขนาดของรูปรุนและปริมาตรของรูปรุนลดลง โดยอาจนำไปสู่การเกิดรูปรุนภายในโครงสร้างแบบไมโครถ้าเพิ่มปริมาณโลหะนิกเกิลมากกว่าร้อยละ 10 โดยน้ำหนัก อย่างไรก็ตามพื้นที่ผิวทั้งหมดของวัสดุかる์บอนรูปรุนแบบเมโซที่ ปราศจากนิกเกิล พื้นที่ผิวทั้งหมดเท่ากับ 444 ตารางเมตรต่อกรัมและวัสดุかる์บอนรูปรุนที่รองรับโลหะนิกเกิลปริมาณร้อยละ 5 และ 10 โดยน้ำหนักมีพื้นที่ผิวทั้งหมด 282 และ 266 ตารางเมตรต่อกรัมตามลำดับ (แสดงดังตารางที่ 4.3) นอกจากนี้ปริมาตรและขนาดของรูปรุนแสดงแนวโน้ม เช่นเดียวกับค่าพื้นที่ผิวทั้งหมด ซึ่งแสดงให้เห็นว่าผลที่ได้สอดคล้องกับผลของไอโซเทอร์มที่ได้เสนอ ก่อนหน้านี้ และแนวโน้มการลดลงของสมบัติรูปรุนเมื่อทำการเติมโลหะทรายซีชันสอดคล้อง กับงานวิจัยของ Maldonado-Hodar และคณะ (2000) ที่ทำการศึกษาการเติมโลหะ โครงเมียม

เหล็ก นิกเกิล และโคบอลในวัสดุคาร์บอน Aerogel พบร่วมกับพื้นที่ผิวและปริมาตรของรูป真人 มีค่าน้อย เมื่อเปรียบเทียบกับวัสดุคาร์บอน Aerogel ที่ปราศจากโลหะ โดยการลดลงของพื้นที่ผิวและปริมาตรของรูป真人 สามารถอธิบายได้จากการที่เติมโลหะนิกเกิลลงไปทำให้โลหะนิกเกิลอยู่ภายในรูป真人และทางเข้ารูป真人 ซึ่งส่งผลต่อพื้นที่ผิวและขนาดรูป真人ลดลงรวมทั้งปริมาตรของรูป真人ลดลงด้วย นอกจากนี้มุ่งเน้นที่การลดลงของนิกเกิล อะซิเตตทำให้เกิดความเป็นกรด-ด่างที่สภาวะเริ่มต้นของการสังเคราะห์แตกต่างกัน (ปริมาณของนิกเกิล อะซิเตตต่างกัน) ส่งผลทำให้อัตราการเกิดปฏิกิริยาการควบแน่นแตกต่างกัน ดังนั้นทำให้เกิดโครงสร้างของ RF gel ที่ขอบล้อม Pluronic F127 ที่แตกต่างกันไป ด้วยเหตุนี้โครงสร้างของรูป真人จึงถูกทำลายหรือเปลี่ยนไปจากเดิมเมื่อเติมโลหะนิกเกิล นอกจากนี้อาจจะเกิดจากค่าความเป็นกรด-ด่างของสภาวะการสังเคราะห์ที่ต่างกัน (แสดงดังตารางที่ 4.3) ทำให้เกิดการฟอร์มตัวเป็นไมเซลล์ที่ต่างกัน วัสดุที่สังเคราะห์ได้จึงปรากฏลักษณะของรูป真人ที่แตกต่างกันด้วย อย่างไรก็ตามลักษณะการกระจายตัวของขนาดรูป真人 ปรากฏช่วงการกระจายตัวของขนาดรูป真人ที่แบบทั่วไปของวัสดุคาร์บอนรูป真人แบบเมโซที่ปราศจากโลหะนิกเกิลและวัสดุคาร์บอนรูป真人แบบเมโซที่รองรับโลหะนิกเกิล (แสดงดังรูปที่ 4.6) ซึ่งแสดงถึงรูป真人ของวัสดุคาร์บอนรูป真人ที่สังเคราะห์ได้ มีการกระจายขนาดของรูป真人ภายในโครงสร้างสม่ำเสมอ โดยวัสดุคาร์บอนรูป真人ที่ปราศจากโลหะนิกเกิลมีการกระจายตัวของขนาดรูป真人 ($r_p \times 2$) เท่ากับ 6.18 นาโนเมตรและวัสดุคาร์บอนรูป真人ที่รองรับโลหะนิกเกิลร้อยละ 5 และ 10 โดยน้ำหนัก มีการกระจายตัวเฉลี่ยของขนาดรูป真人 ($r_p \times 2$) เท่ากันคือ 3.7 นาโนเมตร (แสดงดังตารางที่ 4.3) นอกจากนี้การลดลงของขนาดของรูป真人ลดลงคลื่องกับผลไอโซเทอร์มการดูดซับ-คายซับในตรามั่นที่เสนอ ก่อนหน้านี้ที่ว่าการเติมโลหะนิกเกิลลงบนวัสดุคาร์บอนรูป真人จะส่งผลให้ขนาดรูป真人ลดลง



รูปที่ 4.5 ไอโซเทอร์มในการดูดซับ-คายซับในไตรเจน (Nitrogen adsorption-desorption isotherm) ที่ -196 องศาเซลเซียสของ (□) วัสดุคาร์บอนถูพรุนที่ปราศจากโลหะทรานซิชันนิกเกิล (△) วัสดุคาร์บอนถูพรุนที่รองรับโลหะนิกเกิลร้อยละ 5 โดยน้ำหนัก และ (○) วัสดุคาร์บอนถูพรุนที่รองรับโลหะนิกเกิลร้อยละ 10 โดยน้ำหนัก หลังจากทำการเผาให้เป็นคาร์บอนที่อุณหภูมิ 800 องศาเซลเซียส ภายใต้กําazi ในไตรเจนที่อัตราส่วนโดยโมลระหว่าง R/F เท่ากับ $1:1.4$



รูปที่ 4.6 การกระจายตัวของขนาดรูพุน ของ (□) วัสดุคาร์บอนรูพุนที่ปราศจากโลหะทรานซิชันนิกเกิล (△) วัสดุคาร์บอนรูพุนที่รองรับโลหะนิกเกิลร้อยละ 5 โดยน้ำหนัก และ (○) วัสดุคาร์บอนรูพุนที่รองรับโลหะนิกเกิลร้อยละ 10 โดยน้ำหนัก หลังจากการเผาให้เป็นคาร์บอนที่อุณหภูมิ 800 องศาเซลเซียส ภายใต้ก๊าซไนโตรเจนที่อัตราส่วนโดยไม่ระบุระหว่าง R/F เท่ากับ 1:1.4

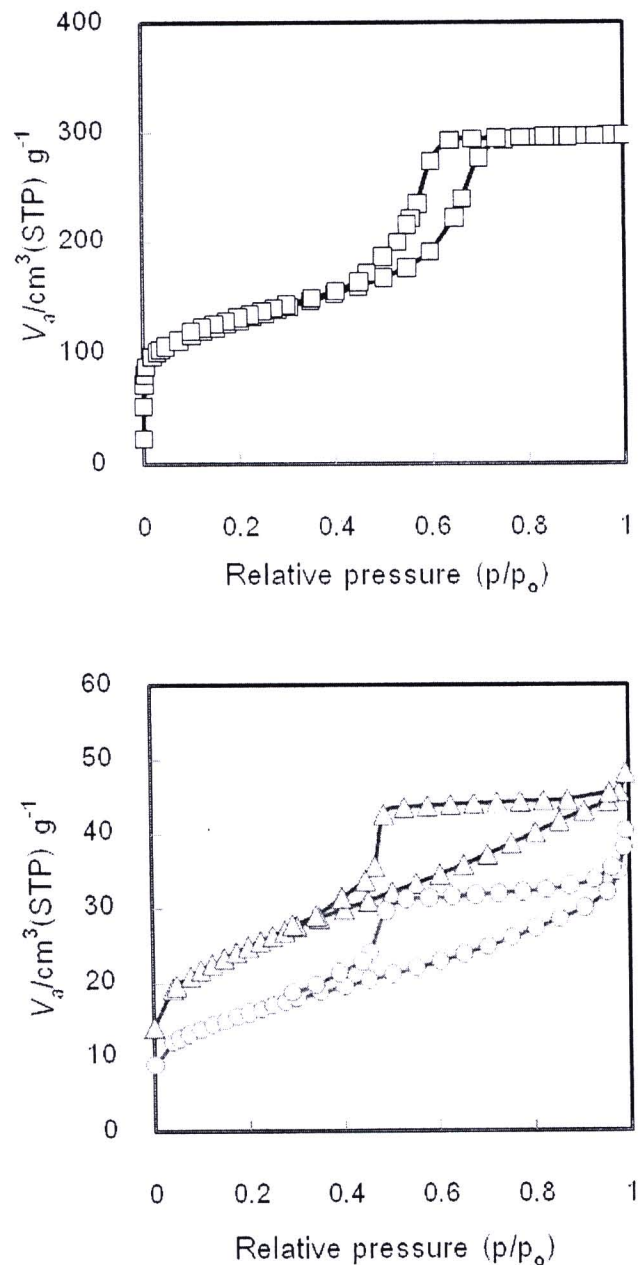
ตารางที่ 4.3 คุณสมบัติเฉพาะของรูพุนของวัสดุคาร์บอนที่ปราศจากโลหะและวัสดุคาร์บอนที่รองรับโลหะนิกเกิลที่อัตราส่วนโดยไม่ระบุระหว่าง R/F เท่ากับ 1:1.4

ตัวอย่าง	ความเป็นกรด-ด่าง เริ่มต้น (Initial pH)	พื้นที่ผิว (ตารางเมตรต่อกรัม)	r_p (นาโนเมตร)	ปริมาตรรูพุน (ลูกบาศก์เมตรต่อกรัม)
1:1.4-C	11.27	444	3.09	0.46
1:1.4-C-Ni(5)	10.47	282	1.85	0.195
1:1.4-C-Ni(10)	9.84	266	1.85	0.136

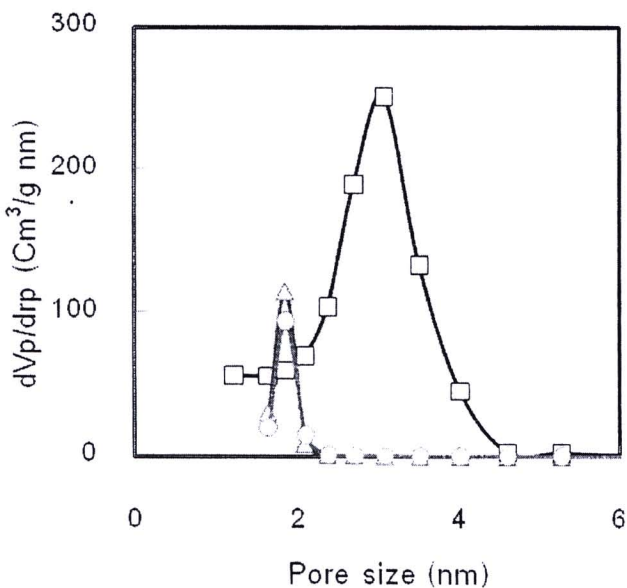
4.1.4 อิทธิพลของปริมาณโลหะเหล็กต่อคุณลักษณะรูปrun

รูปที่ 4.7 แสดงໄอโซเทอร์มในการดูดซับ-คายซับในตรเจนของวัสดุคาร์บอนรูปrunที่ปราศจากโลหะทรายซึ้นและวัสดุคาร์บอนรูปrunที่ร่องรับโลหะเหล็ก พบร่วมกับໄอโซเทอร์มในการดูดซับ-คายซับในตรเจนของวัสดุคาร์บอนรูปrunที่ปราศจากโลหะเหล็ก แสดงໄอโซเทอร์มการดูดซับ-คายซับในตรเจนเป็นประเภทที่ 4 และปรากฏลูปอิสเทอเริชท์ชัดเจน ดังนั้นวัสดุคาร์บอนรูปrunที่สังเคราะห์ได้จึงมีโครงสร้างรูปrunแบบเมโซ ในขณะที่วัสดุคาร์บอนรูปrunที่ร่องรับโลหะเหล็กในปริมาณร้อยละ 5 และ 10 โดยน้ำหนักตามลำดับ แสดงໄอโซเทอร์มประเภทที่ 4 และปรากฏแนวโน้มเข้มเดียวกับวัสดุคาร์บอนที่มีการเติมโลหะนิกเกิล กล่าวคือ พื้นที่ผิวทั้งหมด ขนาดรูปrun และปริมาตรของรูปrunลดลง ซึ่งวัสดุคาร์บอนรูปrunที่ปราศจากโลหะมีค่าพื้นที่ผิวทั้งหมดเท่ากับ 444 ตารางเมตรต่อกิโลกรัมและวัสดุคาร์บอนรูปrunแบบเมโซที่ร่องรับโลหะเหล็ก มีพื้นที่ผิวทั้งหมดลดลงเหลือประมาณ 60 ตารางเมตรต่อกิโลกรัมที่ปริมาณโลหะเหล็กร้อยละ 10 โดยน้ำหนัก (แสดงดังตารางที่ 4.4) แนวโน้มของพื้นที่ผิวทั้งหมด ขนาดรูปrun และปริมาตรรูปrunลดลงเมื่อทำ การเติมโลหะเหล็กในปริมาณที่สูงขึ้น ซึ่งสามารถอธิบายผลที่เกิดขึ้นได้เช่นเดียวกับการทำ การเติมโลหะเหล็กในปริมาณที่เติมโลหะเหล็กลงไป ทำให้โลหะเหล็กอยู่ภายใต้รูปrunและทางเข้ารูปrun ส่งผลต่อเนื่องให้รูปrunมีขนาดเล็กลง ปริมาตรรูปrunลดลงพร้อมกับการทำที่โครงสร้างของรูปrunถูกทำลายและเปลี่ยนไปเนื่องจากหมุนเวียนเทสต์ส่งผลให้อัตราการเกิดปฏิกิริยาการควบแน่นต่างกัน ส่งผลต่อเนื่องให้ลักษณะโครงสร้างรูปrunและไมเซลล์ของ Pluronic F127 ที่เกิดขึ้นเปลี่ยนไป หรือถูกทำลาย โดยพบว่าการกระจายตัวของขนาดของรูปrun มีช่วงการกระจายตัวที่แคบทั้งของวัสดุ คาร์บอนรูปrunแบบเมโซที่ปราศจากโลหะเหล็กและวัสดุคาร์บอนรูปrunแบบเมโซที่ร่องรับโลหะเหล็ก แสดงลักษณะของมีการกระจายตัวของขนาดรูปrunที่สม่ำเสมอ (แสดงดังรูปที่ 4.8)

ด้วยเหตุนี้ปริมาณโลหะทรายซึ้นที่เติมลงไปมีผลกระทบต่อลักษณะและสมบัติรูปrunของวัสดุคาร์บอนที่สังเคราะห์ โดยทำให้ลักษณะโครงสร้างรูปrunแบบเมโซ กล้ายเป็นโครงสร้างรูปrunแบบไมโครถ้าปริมาณโลหะมากเกินกว่าร้อยละ 10 โดยน้ำหนักพร้อมทั้งสมบัติรูปrunลดลงอีกด้วย



รูปที่ 4.7 ไอโซเทอร์มในการดูดซับ-คายซับในไตรเจน (Nitrogen adsorption-desorption isotherm) ที่ -196 องศาเซลเซียส ของ (□) วัสดุคาร์บอนกรูพรูนที่ปราศจากโลหะทรานซิชัน (Δ) วัสดุคาร์บอนกรูพรูนที่รองรับโลหะเหล็กร้อยละ 5 โดยน้ำหนัก และ (\circ) วัสดุคาร์บอนกรูพรูนที่รองรับโลหะเหล็กร้อยละ 10 โดยน้ำหนัก หลังจากทำการเผาให้เป็นคาร์บอนที่อุณหภูมิ 800 องศาเซลเซียส ภายใต้ก๊าซไนโตรเจน ที่อัตราส่วนโดยไมล์ระหว่าง R/F เท่ากับ 1:1.4



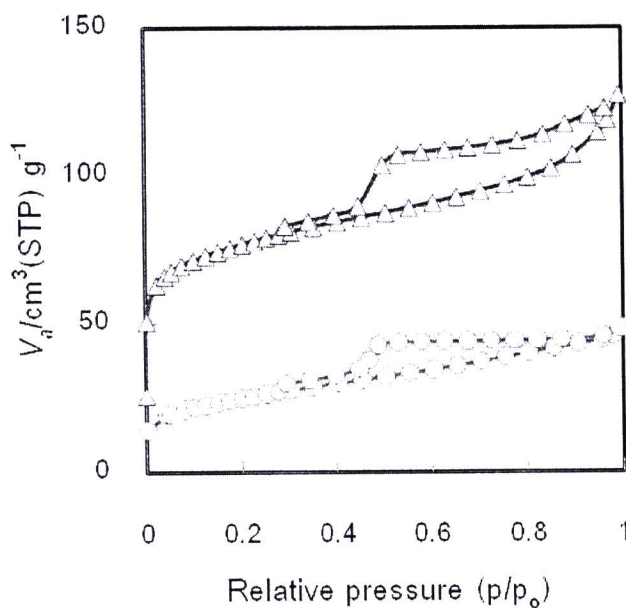
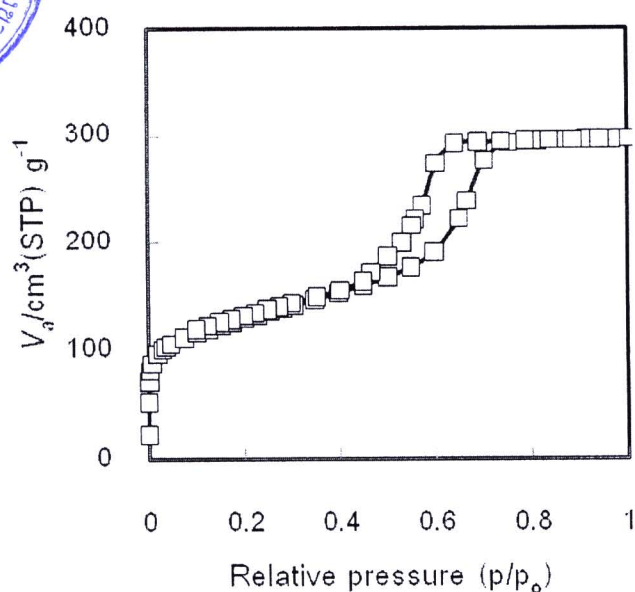
รูปที่ 4.8 การกระจายตัวของขนาดรูปрутุน ของ (□) วัสดุคาร์บอนรูปрутุนที่ปราศจากโลหะทรานซิชันเหล็ก (△) วัสดุคาร์บอนรูปрутุนที่รองรับโลหะเหล็กร้อยละ 5 โดยน้ำหนัก และ (○) วัสดุคาร์บอนรูปрутุนที่รองรับโลหะเหล็กร้อยละ 10 โดยน้ำหนัก หลังจากทำการเผาให้เป็นคาร์บอนที่อุณหภูมิ 800 องศาเซลเซียส ภายใต้ก๊าซไนโตรเจนที่อัตราส่วนโดยมวลของ R/F เท่ากับ 1:1.4

ตารางที่ 4.4 คุณสมบัติเฉพาะของรูปрутุนของวัสดุคาร์บอนที่ปราศจากโลหะและวัสดุคาร์บอนที่รองรับโลหะเหล็กที่อัตราส่วนโดยมวลระหว่าง R/F เท่ากับ 1:1.4

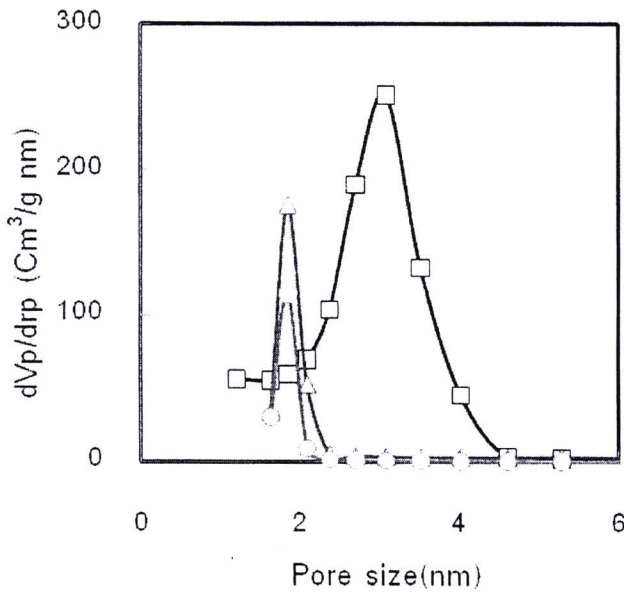
ตัวอย่าง	ความเป็นกรด-ด่าง เริ่มต้น (Initial pH)	พื้นที่ผิว (ตารางเมตรต่อกรัม)	r_p (นาโนเมตร)	ปริมาตรรูปрутุน (ลูกบาศก์เมตรต่อกรัม)
1:1.4-C	11.27	444	3.09	0.46
1:1.4-C-Fe(5)	10.23	90	1.85	0.06
1:1.4-C-Fe(10)	9.47	60	1.85	0.03

4.1.5 อิทธิพลของประเภทของโลหะทرانซิชันต่อคุณลักษณะรูปrun

เมื่อทำการเปรียบเทียบวัสดุคาร์บอนรูปrunที่รองรับโลหะนิกเกิลกับรองรับโลหะเหล็ก ร้อยละ 5 โดยน้ำหนัก พบร้า ไอโซเทอร์มในการดูดซับ-คายซับในตรีเจนเป็นประเภทที่ 4 ที่ pragglutopis เทอริชิส ในช่วงค่าการดูดซับที่ต่ำ (แสดงดังรูปที่ 4.9) นั้นแสดงว่าบ่งวัสดุคาร์บอนรูปrun ที่สังเคราะห์เป็นวัสดุคาร์บอนรูปrunแบบเมโซและมีพื้นที่ผิวทั้งหมด ขนาดรูปrun และปริมาตรของรูปrun ค่อนข้างต่ำ กล่าวคือวัสดุคาร์บอนรูปrun ที่ปราศจากโลหะมีค่าพื้นที่ผิวทั้งหมดเท่ากับ 444 ตารางเมตรต่อกรัม ซึ่งวัสดุคาร์บอนรูปrun ที่รองรับโลหะนิกเกิล มีพื้นที่ผิวทั้งหมดเท่ากับ 282 ตารางเมตรต่อกรัม และวัสดุคาร์บอนรูปrun ที่เติมโลหะเหล็ก มีพื้นที่ผิวทั้งหมดเท่ากับ 90 ตารางเมตรต่อกรัม (แสดงดังตารางที่ 4.5) โดยวัสดุคาร์บอนที่รองรับโลหะเหล็กให้สมบัติรูปrun ที่น้อยกว่าวัสดุคาร์บอนรูปrun ที่รองรับโลหะนิกเกิลแนวโน้มของพื้นที่ผิวทั้งหมดที่ลดลง เมื่อทำการเติมโลหะลงไป ซึ่งสามารถอธิบายได้จาก ในระหว่างกระบวนการสังเคราะห์ ไอออนโลหะสามารถ เกิดการตกลงกันอยู่ในรูปของสารประกอบไออกไซด์และฟอร์มอลดีไฮด์ยังทำหน้าที่เป็นตัวให้อิเล็กตรอนแก่สารได้ดี (ว่องไวมาก) จึงทำให้ไอออนโลหะสามารถตกลงกันอยู่ในรูปของอนุภาค โลหะและการที่โลหะนิกเกิล มีความสามารถละลายได้ดีกว่าโลหะเหล็ก จึงทำให้โลหะเหล็กส่วนหนึ่งที่ไม่ได้ไปเกิดการจับตัวกับ RF gel เมื่อลดลงเป็นไอออน ซึ่งสามารถเกิดการตกลงกันได้ และรวมตัวกันเป็นกลุ่มก้อน (Job และคณะ (2004)) ซึ่งส่งผลให้โครงสร้างรูปrun ถูกทำลาย นอกจานี้ธรรมชาติของตัวโลหะทرانซิชัน ยังเป็นอีกเหตุผลหนึ่งที่มีผลต่อลักษณะและสมบัติรูปrun ที่เกิดขึ้นแต่ยากที่จะอธิบายกลไกที่เกิดขึ้นเนื่องจากมีความซับซ้อนสูง อย่างไรก็ตามจากรูปที่ 4.10 บ่งบอกได้ว่าวัสดุคาร์บอนรูปrun ที่รองรับโลหะนิกเกิล และโลหะเหล็กที่สังเคราะห์ได้ แสดงลักษณะการกระจายตัวของขนาดรูปrun ภายในโครงสร้างที่สม่ำเสมอ



รูปที่ 4.9 ไอโซเทอร์มในการดูดซับ-คายซับในไตรเจน (Nitrogen adsorption-desorption isotherm) ที่ -196 องศาเซลเซียส ของ (□) วัสดุคาร์บอนถูกพ่นที่ปราศจากโลหะทรานซิชัน (Δ) วัสดุคาร์บอนถูกพ่นที่รองรับโลหะนิกเกิลร้อยละ 5 โดยน้ำหนัก และ (\circ) วัสดุคาร์บอนถูกพ่นที่รองรับโลหะเหล็กร้อยละ 5 โดยน้ำหนัก หลังจากทำการเผาให้เป็นคาร์บอนที่อุณหภูมิ 800 องศาเซลเซียส ภายใต้ก๊าซไนโตรเจน ที่อัตราส่วนโดยเมล็ดระหว่าง R/F เท่ากับ 1:1.4



รูปที่ 4.10 การกระจายตัวของขนาดรูพุน ของ (□) วัสดุcarbอนรูพุนที่ปราศจากโลหะทรานซิชัน (△) วัสดุcarbอนรูพุนที่รองรับโลหะนิกเกิลร้อยละ 5 โดยน้ำหนัก และ (○) วัสดุcarbอนรูพุนที่รองรับโลหะเหล็กร้อยละ 5 โดยน้ำหนัก หลังจากการเผาให้เป็น carbอนที่อุณหภูมิ 800 องศาเซลเซียส ภายใต้ก๊าซไนโตรเจนที่อัตราส่วนโดยมวลระหว่าง R/F เท่ากับ 1:1.4

ตารางที่ 4.5 คุณสมบัติเฉพาะของรูพุนของวัสดุcarbอนที่ปราศจากโลหะและวัสดุcarbอนที่รองรับโลหะนิกเกิลและเหล็กที่ร้อยละ 5 โดยน้ำหนักที่อัตราส่วนโดยมวลระหว่างR/F เท่ากับ 1:1.4

ตัวอย่าง	ความเป็นกรด-ด่าง เริ่มต้น (Initial pH)	พื้นที่ผิว (ตารางเมตรต่อกรัม)	r_p (นาโนเมตร)	ปริมาตรรูพุน (ลูกบาศก์เมตรต่อกรัม)
1:1.4-C	11.27	444	3.09	0.46
1:1.4-C-Ni(5)	10.47	282	1.85	.195
1:1.4-C-Fe(5)	10.23	90	1.85	0.06

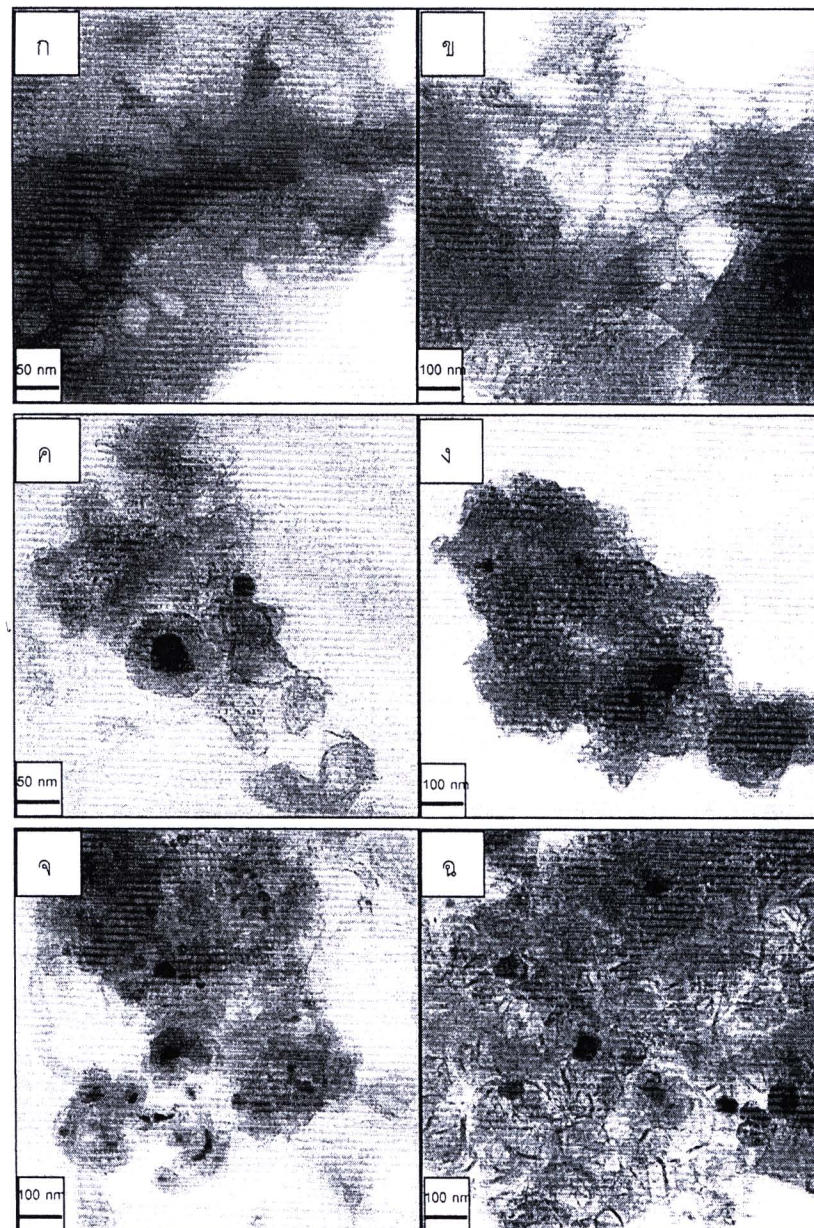
4.2 ศึกษาอิทธิพลของปริมาณและประเภทของโลหะทรายซึ่งสัมผัสรูปแบบโครงสร้าง

จากการศึกษาลักษณะและสมบัติของรูพุนของวัสดุคาร์บอนรูพุนที่ปราศจากคาร์บอน และวัสดุคาร์บอนรูพุนที่มีการรองรับโลหะทรายซิชัน ปัจบุกถึงการเกิดลักษณะและสมบัติของรูพุนที่แตกต่างกันเมื่อปริมาณของโลหะที่เติมลงไปแตกต่างกัน ดังนั้นจึงสามารถบ่งบอกได้ว่ารูปแบบโครงสร้างของวัสดุคาร์บอนรูพุนที่เกิดขึ้นน่าจะแตกต่างกันด้วย ซึ่งในส่วนนี้จะศึกษารูปแบบโครงสร้างของวัสดุคาร์บอนที่รองรับโลหะทรายซิชัน ด้วยกล้องจุลทรรศน์อิเล็กตรอนแบบส่องประกาย (Transmission electron microscope: TEM) ซึ่งผลลัพธ์ที่ได้มีดังนี้

4.2.1 อิทธิพลของปริมาณของโลหะนิกเกิลต่อรูปแบบโครงสร้าง

พิจารณาฐานที่ 4.11 แสดงภาพ TEM ที่บ่งบอกรูปแบบโครงสร้างของวัสดุคาร์บอนรูพูนที่ปราศจากโลหะnickel และวัสดุคาร์บอนรูพูนที่รับโลหะnickel พบว่าวัสดุคาร์บอนรูพูนที่รับโลหะnickel ร้อยละ 5 โดยน้ำหนัก (แสดงดังรูปที่ 4.11ค-ง) พบว่าลักษณะรูปแบบโครงสร้างของวัสดุคาร์บอนรูพูนที่รับโลหะnickel ร้อยละ 5 โดยน้ำหนัก (แสดงดังรูปที่ 4.11ค-ง) พบว่าลักษณะรูปแบบโครงสร้างของวัสดุคาร์บอนเป็นแบบแคปซูล (Capsule) และแบบหนอน (Worm-like) โดยจะสังเกตเห็นสารประกอบของโลหะnickel ซึ่งอาจจะอยู่ในรูปของโลหะnickel (Nickel metal) หรือnickel oxide (NiO : Nickel oxide) กระจายตัวทั้งบนพื้นผิวและภายในโครงสร้างของวัสดุคาร์บอนแบบแคปซูล ลักษณะการกระจายตัวไม่สม่ำเสมอและมีเกิดการรวมตัวเป็นกลุ่มก้อนเมื่อเปรียบเทียบกับวัสดุคาร์บอนรูพูนที่รับโลหะnickel ร้อยละ 10 โดยน้ำหนัก (แสดงดังรูปที่ 4.711จ-ฉ) พบว่าลักษณะรูปแบบโครงสร้างของวัสดุคาร์บอนเป็นแบบแผ่น (Sheet) และแบบท่อ (Tube) โดยปรากฏสารประกอบโลหะnickel กระจายตัวทั้งบนพื้นผิวของวัสดุคาร์บอนโครงสร้างแบบแผ่นและอยู่ภายใต้ห้องคาร์บอน พร้อมทั้งมีการกระจายตัวของสารประกอบโลหะnickel ดีและสม่ำเสมอกว่าวัสดุคาร์บอนรูพูนที่เติมโลหะnickel ร้อยละ 5 โดยน้ำหนักอย่างไรก็ตามการเกิดโครงสร้างท่อcarbon nanotube (Carbon Nanotube: CNT) สามารถเกิดขึ้นได้เนื่องจากโลหะnickel เป็นตัวเร่งปฏิกิริยาในกระบวนการสังเคราะห์ห้องcarbon nanotube ซึ่งโดยปกติการเกิดโครงสร้างท่อcarbon nanotube ได้รับปฏิกิริยาจากต้องอยู่ในรูปโลหะnickel จากข้อมูลดังกล่าวสามารถคาดการได้ว่า วัสดุคาร์บอนรูพูนที่รับโลหะnickel ร้อยละ 5 โดยน้ำหนัก สารประกอบของโลหะnickel อยู่ในรูปของnickel oxide (Nickel oxide) จึงไม่เห็นโครงสร้างท่อcarbon nanotube เกิดขึ้น และวัสดุคาร์บอนรูพูนที่รับโลหะnickel ร้อยละ 10 โดยน้ำหนัก สารประกอบของโลหะnickel

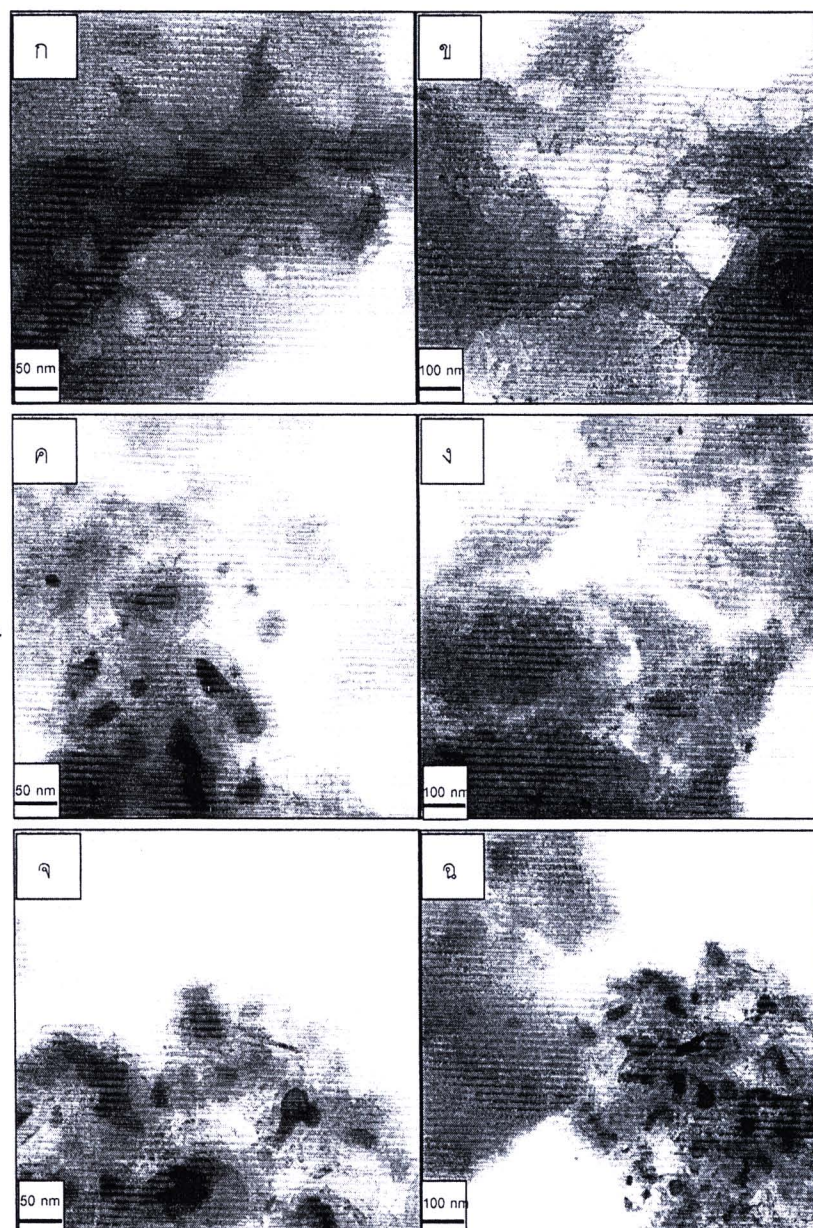
บางส่วนอยู่ในรูปของโลหะ จึงสามารถทำให้เห็นท่อคาร์บอนนาโนเกิดขึ้น (Dupuis และคณะ (2005)) นอกจากนี้ยังไม่พบงานวิจัยหรือข้อมูลที่บ่งบอกว่าสามารถเตรียมวัสดุท่อคาร์บอนนาโนด้วยเทคนิคโซล-เจล ทำให้การที่สามารถสังเคราะห์วัสดุท่อคาร์บอนนาโนด้วยเทคนิคโซล-เจลที่ค้นพบนี้น่าสนใจเป็นอย่างยิ่ง อีกทั้งผลของรูปแบบโครงสร้างของวัสดุคาร์บอนที่ได้ยังสอดคล้องกับผลของไอโซเทอร์มที่กล่าวมาข้างต้น โดยนอกกว่าปริมาณของโลหะที่เติมลงไปแตกต่างกัน สงผลให้เกิดรูปแบบโครงสร้างที่แตกต่างกัน



รูปที่ 4.11 ภาพ TEM ของ (ก, ข) วัสดุคาร์บอนฟูฟูนที่ปราศจากโลหะทรายซิชั่นนิกเกิล (ค, ง) วัสดุ
คาร์บอนฟูฟูนที่รองรับโลหะนิกเกิลร้อยละ 5 โดยน้ำหนัก และ (จ, ฉ) วัสดุคาร์บอนฟูฟูนที่รองรับ[‡]
โลหะนิกเกิลร้อยละ 10 โดยน้ำหนัก หลังจากทำการเผาให้เป็นคาร์บอนที่อุณหภูมิ 800 °C
เคลือบเทียสภายในต่อเรน ที่อัตราส่วนโดยมวลระหว่าง R/F เท่ากับ 1:1.4

4.2.2 ศึกษาอิทธิพลของปริมาณโลหะเหล็กต่อรูปแบบโครงสร้าง

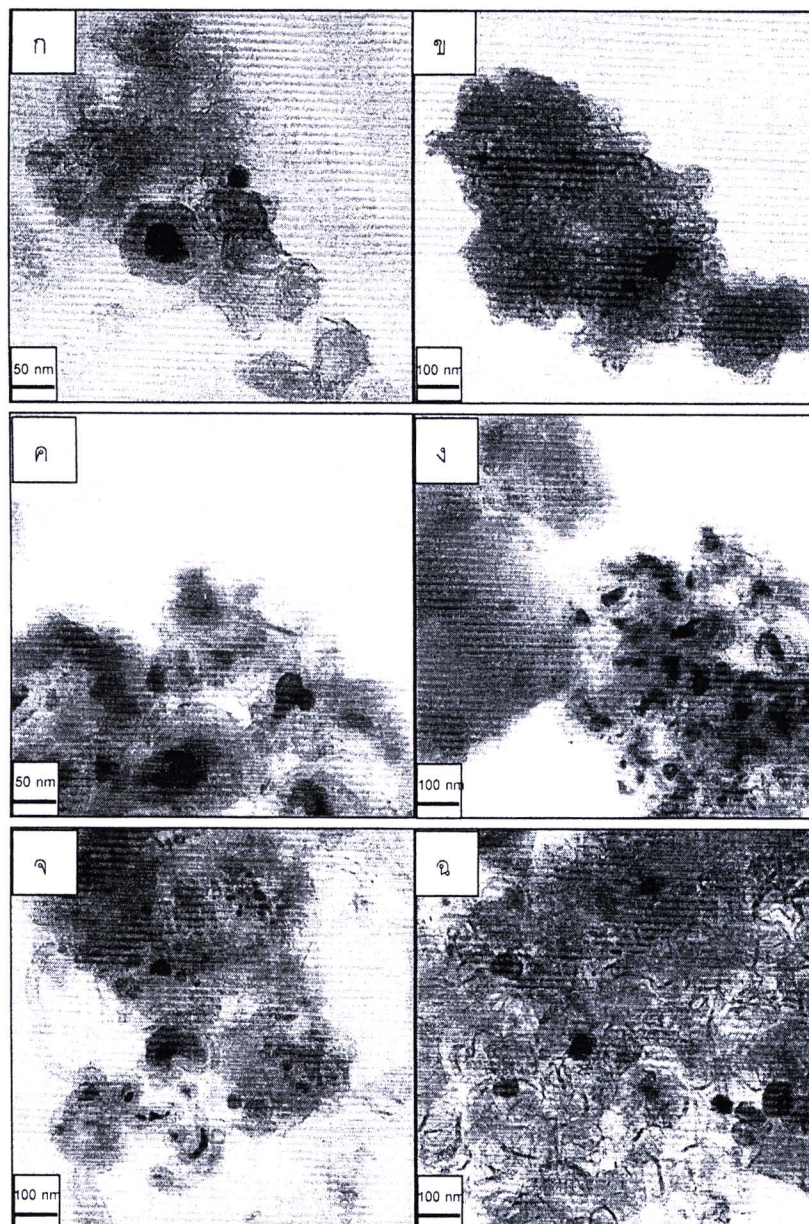
ในส่วนของภาพ TEM ที่บ่งบอกถึงรูปแบบโครงสร้างของวัสดุคาร์บอนอุดพูนที่รองรับโลหะเหล็กร้อยละ 5 โดยน้ำหนัก (แสดงดังรูปที่ 4.12 ค-ง) และวัสดุคาร์บอนอุดพูนที่รองรับโลหะเหล็กร้อยละ 10 โดยน้ำหนัก (ดังรูปที่ 4.12 จ-ฉ) พบว่าลักษณะโครงสร้างของวัสดุคาร์บอนอุดพูนทั้งสองมีรูปแบบโครงสร้างเป็นแบบแคปซูลภายในบรรจุด้วยโลหะเหล็กเป็นส่วนใหญ่และแบบหนอนซึ่งโลหะเหล็กกระจายตัวทั้งบนพื้นผิวของวัสดุคาร์บอนอุดพูน ซึ่งรูปแบบโครงสร้างของวัสดุคาร์บอนอุดพูนที่สังเคราะห์ได้คล้ายคลึงกับรูปแบบโครงสร้างของวัสดุคาร์บอนอุดพูนที่รองรับโลหะเหล็กมีปราภูมิโครงสร้างแบบแคปซูลมากกว่ารูปแบบโครงสร้างของวัสดุคาร์บอนอุดพูนที่รองรับโลหะเหล็กนิกเกิลร้อยละ 5 โดยน้ำหนัก แต่วัสดุคาร์บอนอุดพูนที่รองรับโลหะเหล็กมีปราภูมิโครงสร้างแบบแคปซูลมากกว่าวัสดุคาร์บอนอุดพูนที่รองรับโลหะเหล็กนิกเกิล ในขณะที่ปริมาณของโลหะเหล็กมากขึ้นจะปราภูมิรูปแบบโครงสร้างของวัสดุคาร์บอนอุดพูนแบบแคปซูลมากขึ้นตาม และการที่เหล็กไม่เกิดโครงสร้างท่อคาร์บอนนาโนใน จะมีสภาพแตกต่างจากสารประกอบของเหล็กอยู่ในรูปเหล็กออกไซด์ (Iron Oxide: Fe_2O_3) เนื่องจากเหล็กถูกออกซิไดซ์ (Oxidize) ได้ยากกว่าโลหะนิกเกิล จึงไม่สามารถเกิดโครงสร้างดังกล่าวได้ นอกจากนี้ผลที่ได้ยังสอดคล้องกับผลของไอโซเทอร์มที่กล่าวมาข้างต้น ด้วยเหตุนี้สามารถบอกรู้ว่าการเติมโลหะในปริมาณที่ต่างกัน ทำให้เกิดโครงสร้างของวัสดุคาร์บอนอุดพูนที่สังเคราะห์ได้ต่างกัน



รูปที่ 4.12 ภาพ TEM ของ (ก, ข) วัสดุคาร์บอนรูปrunที่ปราศจากโลหะทรานซิชัน (ค, ง) วัสดุ
คาร์บอนรูปrunที่รองรับโลหะเหล็กร้อยละ 5 โดยน้ำหนัก และ (จ, ฉ) วัสดุคาร์บอนรูปrunที่รองรับ¹
โลหะเหล็กร้อยละ 10โดยน้ำหนัก หลังจากทำการเผาให้เป็นคาร์บอนที่อุณหภูมิ 800 องศา²
เซลเซียสภายใต้ก๊าซไนโตรเจน ที่อัตราส่วนโดยไมลระหว่าง R/F เท่ากับ 1:1.4

4.2.3 อิทธิพลของประเภทของโลหะทรายซีซันต่อรูปแบบโครงสร้าง

เมื่อทำการเปรียบเทียบลักษณะรูปแบบโครงสร้างของวัสดุคาร์บอนรูพูนที่รองรับโลหะนิกเกิลและวัสดุคาร์บอนรูพูนที่รองรับโลหะเหล็กปริมาณร้อยละ 5 โดยน้ำหนัก พบร่วมกัน พบว่าวัสดุคาร์บอนรูพูนที่รองรับโลหะนิกเกิลร้อยละ 5 โดยน้ำหนัก (แสดงดังรูปที่ 4.13 ก-ข) พบร่วมกัน พบว่าลักษณะรูปแบบโครงสร้างของวัสดุคาร์บอนเป็นแบบแคปซูลและแบบหนอน โดยโลหะนิกเกิลกระจายตัวทั่วทั้งบันพื้นผิวและภายในโครงสร้างของวัสดุคาร์บอนแบบแคปซูลและมีการกระจายตัวที่ไม่สม่ำเสมอพร้อมทั้งเกิดการรวมตัวเป็นกลุ่มก้อนของโลหะนิกเกิล ซึ่งวัสดุคาร์บอนรูพูนที่รองรับโลหะเหล็กร้อยละ 5 โดยน้ำหนัก (แสดงดังรูปที่ 4.13 ค-ง) มีรูปแบบโครงสร้างของวัสดุคาร์บอนเป็นแบบแคปซูลและหนอน แต่ลักษณะโครงสร้างแบบหนอนของโลหะเหล็กแสดงการสูญเสียของโครงสร้างรูพูน และถ้าพิจารณาที่วัสดุคาร์บอนรูพูนที่รองรับโลหะนิกเกิลร้อยละ 10 โดยน้ำหนัก (แสดงดังรูปที่ 4.13 จ-ฉ) มีรูปแบบโครงสร้างของวัสดุคาร์บอนเป็นแบบแผ่นและท่อคาร์บอนนาโน ทั้งนี้เนื่องจาก โครงสร้างที่ควรบอนนาโนจะเกิดจากตัวเร่งปฏิกิริยาที่อยู่ในรูปโลหะ นอกจากนี้เหล็กยังถูกออกซิไดซ์ได้ง่ายกว่านิกเกิล ด้วยเหตุนี้เหล็กจึงสามารถอยู่ในรูปของสารประกอบออกไซด์ได้ง่ายกว่านิกเกิล ผลให้มีปราภูโครงสร้างที่ควรบอนนาโนเมื่อทำการเติมเหล็กลงไป อย่างไรก็ตาม ผลที่ได้สอดคล้องกับผลของไอโซเทอร์มที่บอกว่าวัสดุคาร์บอนรูพูนที่รองรับโลหะเหล็กแสดงสมบัติรูพูนที่ไม่ดีเท่าวัสดุคาร์บอนรูพูนที่รองรับโลหะนิกเกิล เมื่อพิจารณาโครงสร้างของวัสดุคาร์บอนรูพูนที่ปราภู พบว่าวัสดุคาร์บอนรูพูนที่รองรับโลหะเหล็กแสดงปริมาณของโครงสร้างแบบแคปซูลมากกว่าวัสดุคาร์บอนรูพูนที่รองรับโลหะนิกเกิล ด้วยเหตุนี้การเกิดโครงสร้างแบบแคปซูลในปริมาณที่มากกว่า สงผลพื้นที่ผิวทั้งหมดของวัสดุคาร์บอนรูพูนที่รองรับโลหะเหล็กน้อยกว่าวัสดุคาร์บอนรูพูนที่รองรับโลหะนิกเกิล



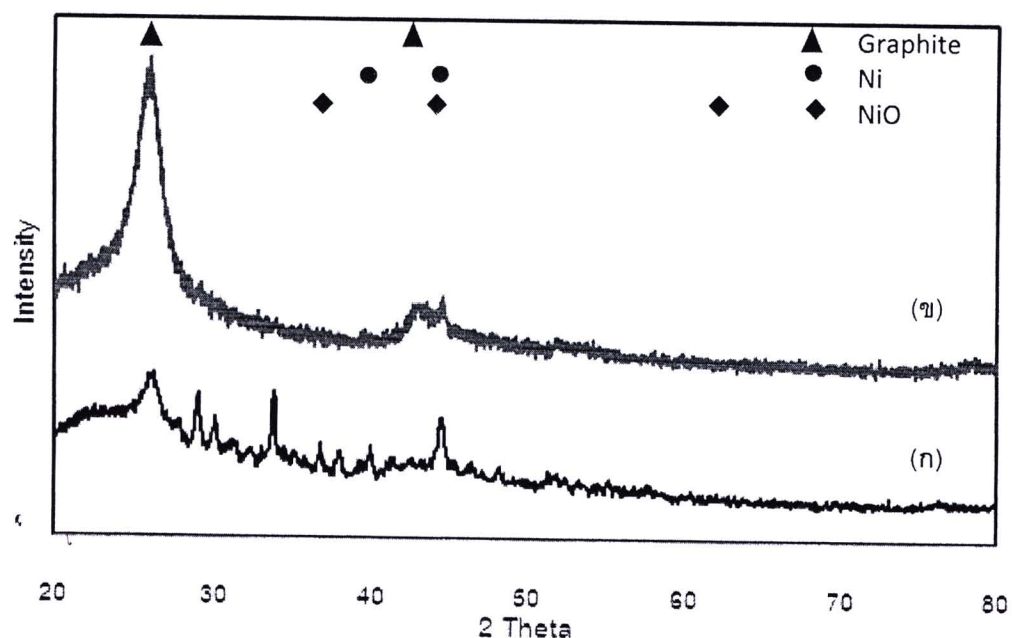
รูปที่ 4.13 ภาพ TEM ของ (ก, ข) วัสดุcarbonnanotubethat ที่ร่องรับโลหะนิกเกิลร้อยละ 5 โดยนำหนัก (ค, ง) วัสดุcarbonnanotubethat ที่ร่องรับโลหะเหล็กร้อยละ 5 โดยนำหนัก และ (จ, ฉ) วัสดุcarbonnanotubethat ที่ร่องรับโลหะนิกเกิลร้อยละ 10 โดยนำหนักหลังจากการเผาให้เป็นคาร์บอนที่อุณหภูมิ 800 องศาเซลเซียสภายใต้ก๊าซไนโตรเจน ที่อัตราส่วนโดยไม่ละห่าง R/F เท่ากับ 1:1.4

4.3 ศึกษาอิทธิพลของปริมาณและประเภทของโลหะทรายซึ่งสัมต่อโครงสร้างผลึก

เมื่อทำการศึกษาเกี่ยวกับโครงสร้างผลึกของวัสดุคาร์บอนรูพ魯นของโลหะที่อยู่บนตัวรองรับคาร์บอน พบร่วม

4.3.1 อิทธิพลของปริมาณโลหะนิกเกิลต่อโครงสร้างผลึก

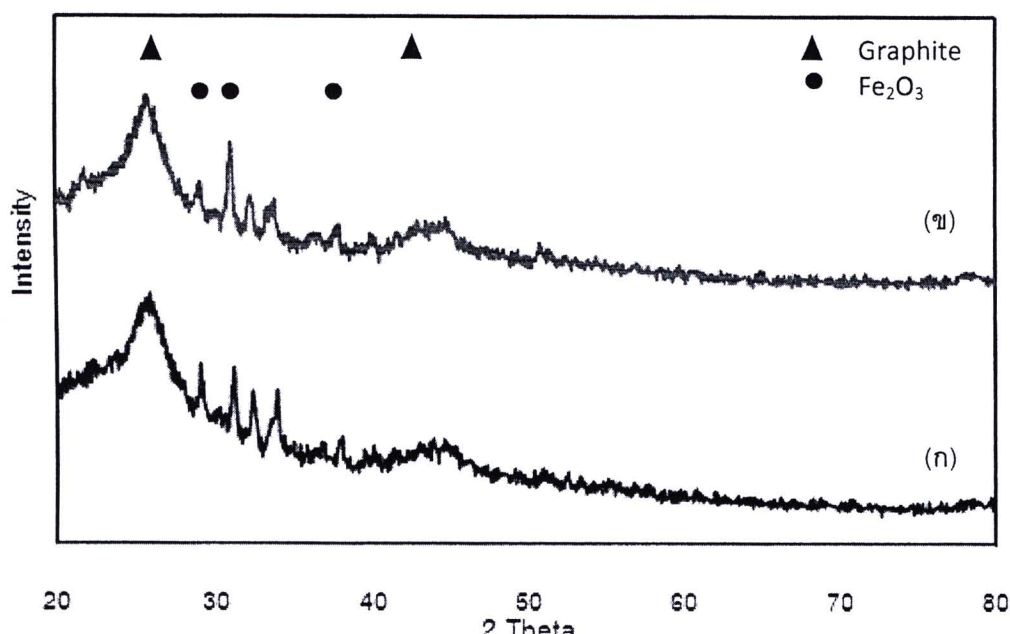
รูปแบบ XRD ของวัสดุคาร์บอนรูพ魯นที่รองรับโลหะนิกเกิลร้อยละ 5 โดยน้ำหนัก และวัสดุคาร์บอนรูพ魯นที่รองรับโลหะนิกเกิลร้อยละ 10 โดยน้ำหนัก (แสดงดังรูปที่ 4.14) ปรากฏของพีคเลี้ยวเบนซึ่งเกิดจากมุม 2θ ที่ตำแหน่ง 26 และ 43 ตามลำดับ ซึ่งค่าดัชนีการหักเหของแสงสามารถบอกได้ว่าเกิดการหักเหที่ระนาบ [002] และ [100] ซึ่งบ่งบอกถึงวัสดุคาร์บอนเป็นแกรไฟท์ พื้นที่ทั้งปรากฏพีคเลี้ยวเบน ที่ตำแหน่ง 38 43.3 และ 62.5 จากตำแหน่งดังกล่าวเป็นระนาบที่นิกเกิลออกไซด์ เนื่องจากเมื่อผ่านการเผานิกเกิลสามารถทำปฏิกิริยา กับออกซิเจน (Oxygen) ที่อยู่ในรูปของไอโอน้ำ และนิกเกิลจะดูดกลืนไฮโดเจน (Hydrogen) เกิดเป็นนิกเกิลออกไซด์ ในทำนองเดียวกันวัสดุคาร์บอนรูพ魯นที่รองรับโลหะนิกเกิล ที่ตำแหน่งพีค 41 และ 44.5 บ่งบอกว่าเกิดการหักเหที่ระนาบ [010] และ ระนาบ [011] ตามลำดับและเป็นระนาบที่นิกเกิลเนื่องจากเมื่อผ่านกระบวนการเผาที่อุณหภูมิสูงโลหะนิกเกิลสามารถอยู่ในรูปของอนุภาคลอหะนิกเกิล เมื่อทำการพิจารณารูปแบบ XRD อีกครั้ง จะเห็นว่านิกเกิลของวัสดุคาร์บอนรูพ魯นที่รองรับโลหะนิกเกิลร้อยละ 5 โดยน้ำหนักอยู่ในรูปของสารประกอบออกไซด์ (นิกเกิลออกไซด์) ส่วนของวัสดุคาร์บอนรูพ魯นที่รองรับโลหะนิกเกิลร้อยละ 10 โดยน้ำหนัก พบร่วมกับนิกเกิลอยู่ในรูปของอนุภาคนิกเกิล จากผลดังกล่าวสอดคล้องกับผลของภาพ TEM ที่เสนอ ก่อนหน้านี้ เนื่องจาก การเกิดโครงสร้างแบบท่อนนิกเกิลจะต้องอยู่ในรูปของโลหะนิกเกิล จึงจะสามารถทำให้เกิดการฟอร์มตัวของโครงสร้างคาร์บอนแบบท่อได้



รูปที่ 4.14 รูปแบบ XRD ของ (ก) วัสดุคาร์บอนอู่พูนที่ร้องรับโลหะnickเกิลร้อยละ 5 โดยน้ำหนัก และ (ข) วัสดุคาร์บอนอู่พูนที่ร้องรับโลหะnickเกิลร้อยละ 10 โดยน้ำหนัก หลังจากทำการเผาให้เป็น คาร์บอนที่อุณหภูมิ 800 องศาเซลเซียส ภายใต้ก๊าซไนโตรเจนที่อัตราส่วนโดยโมลระหว่าง R/F เท่ากับ 1:1.4

4.3.2 อิทธิพลของปริมาณโลหะเหล็กต่อโครงสร้างผลึก

รูปแบบ XRD ของวัสดุคาร์บอนรูพูนที่เติมโลหะเหล็กร้อยละ 5 โดยน้ำหนัก และ วัสดุคาร์บอนรูพูนที่เติมโลหะเหล็กร้อยละ 10 โดยน้ำหนักแสดงดังรูปที่ 4.15 ปรากฏพีคเลี้ยวเบนที่ตำแหน่ง 26 ซึ่งบ่งชี้ว่าวัสดุคาร์บอนรูพูนที่สังเคราะห์ได้มีโครงสร้างแบบอัลตร้าฟินและปราศจากที่ตำแหน่ง 31.2 33.8 และ 36.5 ซึ่งค่าดัชนีการหักเหของแสงสามารถบอกได้ว่าเกิดการหักเหที่ระนาบ [113] [116] และระนาบ [204] ตามลำดับ โดยระนาบทั้งสามเป็นระนาบของผลึกเหล็กออกไซด์ เนื่องจากเหล็กเมื่อได้รับความร้อนสามารถทำปฏิกิริยากับไอน้ำ เกิดเป็นสารประกอบในรูปของเหล็กออกไซด์ และผลที่ได้ก็แสดงคลื่นกับผลของภาพTEM ที่เสนอ ก่อนหน้านี้ เนื่องจากเหล็กที่สังเคราะห์ได้อยู่ในรูปของสารประกอบออกไซด์ จึงไม่สามารถเป็นตัวเร่งปฏิกิริยาที่ทำให้โครงสร้างท่อคาร์บอนนาโนได้

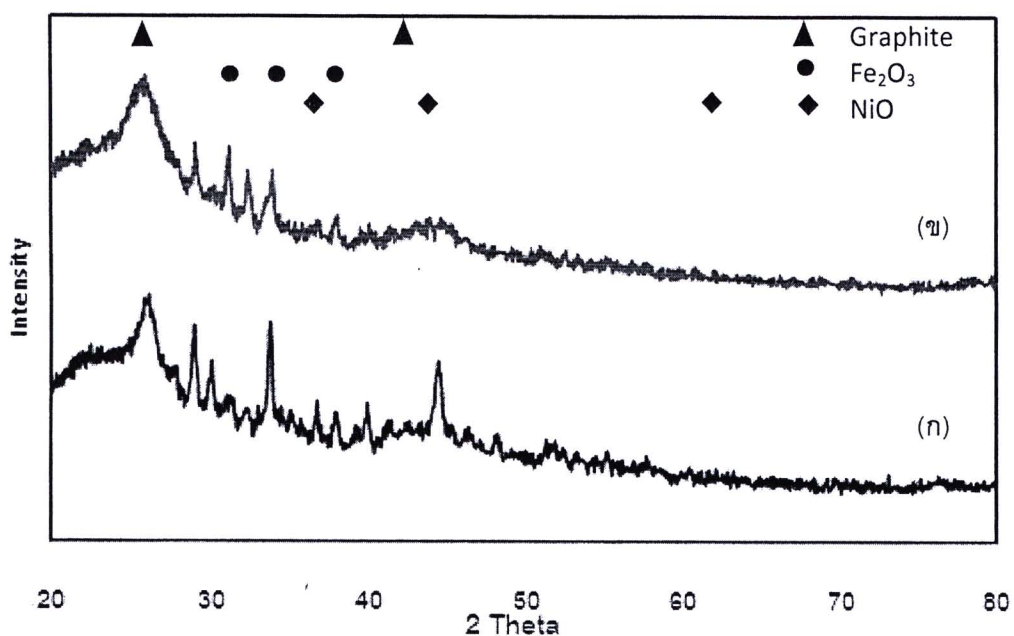


รูปที่ 4.15 รูปแบบ XRD ของ (ก) วัสดุคาร์บอนรูพูนที่ร่องรับโลหะเหล็กร้อยละ 10 โดยน้ำหนัก และ (ข) วัสดุคาร์บอนรูพูนที่ร่องรับโลหะนิกเกิลร้อยละ 10 โดยน้ำหนัก หลังจากการเผาให้เป็นคาร์บอนที่อุณหภูมิ 800 องศาเซลเซียส ภายใต้ก๊าซไนโตรเจน ที่อัตราส่วนโดยไมลระหว่าง R/F เท่ากับ 1:1.4



4.3.3 อิทธิพลของประเภทของโลหะทรานซิชันต่อโครงสร้างผลึก

พิจารณาถึงรูปแบบ XRD ของวัสดุคาร์บอนรูปrunที่เติมโลหะนิกเกิลร้อยละ 5 โดยน้ำหนักแสดงดังรูปที่ 4.16ก ปรากฏของพีคเลี้ยวเบน ซึ่งเกิดจากมุม 2θ ที่ 26° , 31.2° , 33.8° และ 43° พีคที่สอง 26° นี้บ่งบอกถึงวัสดุคาร์บอนเป็นโครงสร้างผลึกของแกรไฟฟ์ นอกจากนี้ที่ 26° , 31.2° , 33.8° และ 43° จากตำแหน่งดังกล่าวเป็นระนาบของนิกเกิลออกไซด์ สำหรับวัสดุคาร์บอนรูปrunที่เติมโลหะเหล็กร้อยละ 5 โดยน้ำหนักแสดงดังรูปที่ 4.16ข ปรากฏของพีคเลี้ยวเบนจากมุม 2θ ที่ 26° , 31.2° , 33.8° และ 36.5° จากดัชนีการหักเหของแสงบ่งบอกถึงระนาบ [113], [116] และ [204] ตามลำดับ ซึ่งบ่งบอกถึงการเกิดเหล็กออกไซด์ จากที่กล่าวมาข้างต้น บ่งบอกได้ว่าโลหะทรานซิชันเมื่อทำการเผาที่อุณหภูมิสูงสามารถเกิดเป็นสารประกอบออกไซด์

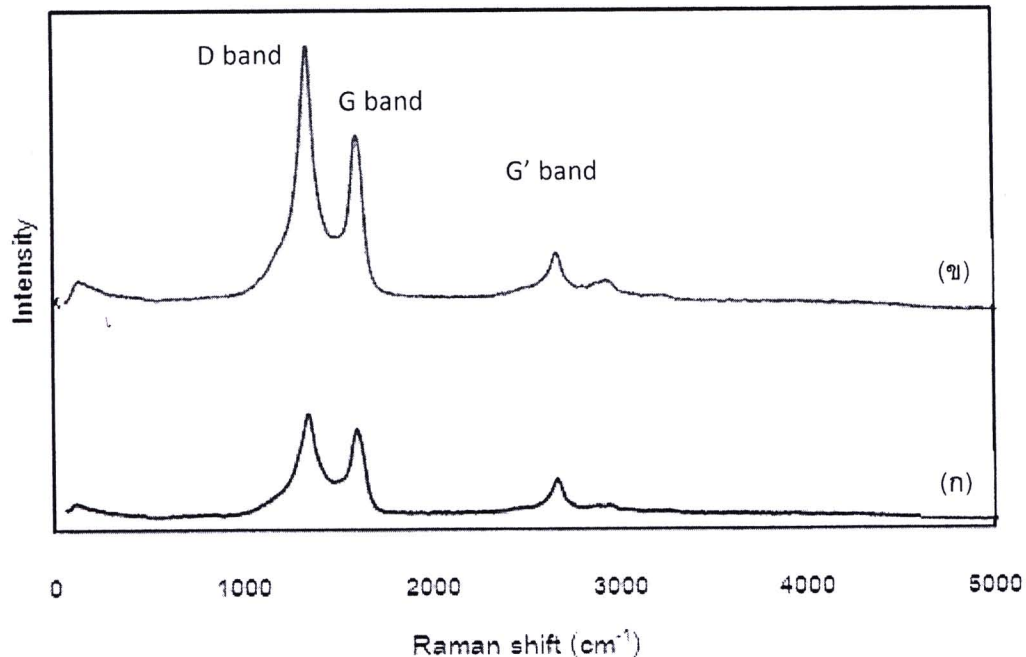


รูปที่ 4.16 รูปแบบ XRD ของ (ก) วัสดุ run ที่รองรับโลหะนิกเกิลร้อยละ 5 โดยน้ำหนักและ (ข) วัสดุคาร์บอนrun ที่รองรับโลหะเหล็กร้อยละ 5 โดยน้ำหนัก หลังจากการเผาให้เป็นคาร์บอนที่อุณหภูมิ 800 องศาเซลเซียส ภายใต้ก๊าซไนโตรเจนที่อัตราส่วนโดยมวลระหว่าง R/F เท่ากับ 1:1.4

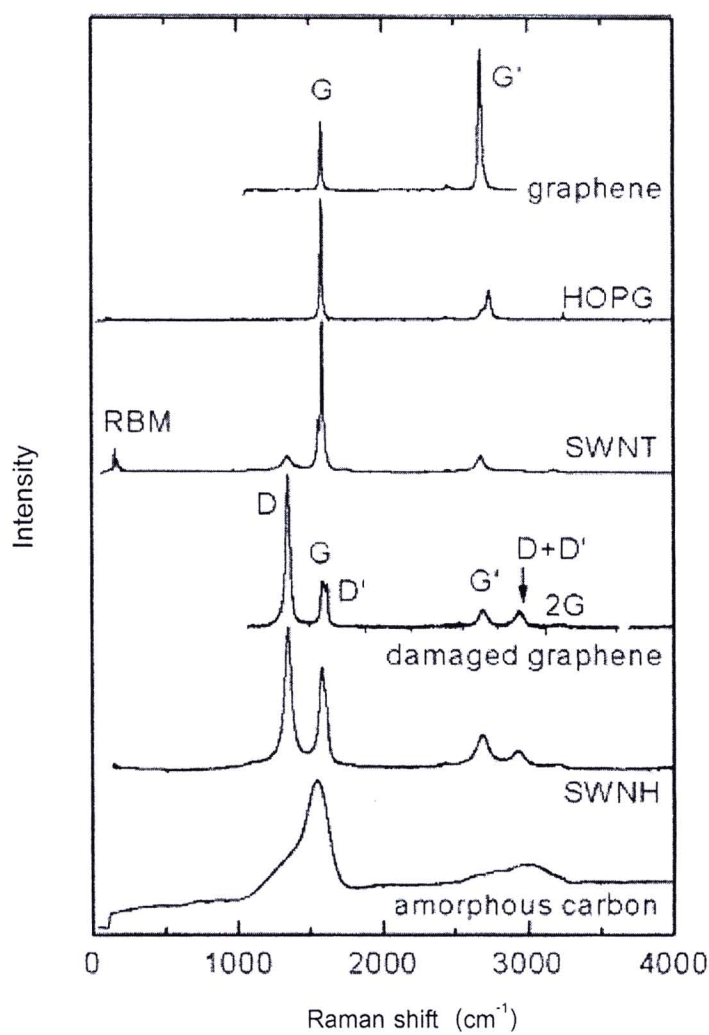
4.4 อิทธิพลของปริมาณโลหะทرانซิชันต่อประเภทของวัสดุคาร์บอนที่สังเคราะห์ได้

スペクトราภานุของวัสดุคาร์บอนรูพูนที่รองรับโลหะนิกเกิลร้อยละ 5 โดยน้ำหนักและวัสดุคาร์บอนรูพูนที่รองรับโลหะนิกเกิลร้อยละ 10 โดยน้ำหนักแสดงดังรูปที่ 4.17 ซึ่งสามารถแบ่งพีค (Peak of Raman spectra) เป็นสองกลุ่ม กลุ่มที่หนึ่งเป็นพีคปรากฏในช่วงความถี่ต่ำ (low frequency region) โดยແບບຄວາມถີ່ທີ່ປາກງູ້ຊັ້ນນີ້ຈະເປັນແບບຄວາມຄື່ຂອງລະຫະນິກເກີລ ກລຸມທີ່ສອງເປັນພຶກປາກງູ້ໃນຊົ່ວໂມງຄວາມຄື່ສູງ (High frequency region) ໂດຍພຶກແຮກປາກງູ້ທີ່ຄວາມຄື່ປະມານ 1,350 ເຮົາກແບບຄວາມຄື່ນີ້ວ່າ “ແບບຄວາມຄື່ D (D band)” ທີ່ຈຶ່ງບ່ານວ່າກີ່ງກາງສູນເລີຍລັກຜະນະໂຄຮສ້າງທີ່ມາດຕະຖານາໄດ້ຢູ່ມາດຕະຖານາໃນການສ້າງວັດຖຸປະກາດ (Hexagonal symmetry of carbon structure) ພຶກສອງປາກງູ້ທີ່ຄວາມຄື່ປະມານ 1,580 ເຮົາກແບບຄວາມຄື່ນີ້ວ່າ “ແບບຄວາມຄື່ G (G band)” ທີ່ແບບຄວາມຄື່ G ມີຄວາມສຳຄັນເປັນຍ່າງມາກທັງນີ້ເນື່ອຈາກເປັນແບບຄວາມຄື່ທີ່ບ່ານວ່າລັກຜະນະຂອງວັດຖຸປະກາດທີ່ມີການຈັດເຮົາກອີເລີກຕຣອນແບບ sp^2 ອອຽບີທັລ (sp_2 carbon system) ແລະແບບຄວາມຄື່ປະມານ 2,500 ປຶ້ງ 2,800 ເຮົາກວ່າ “ແບບຄວາມຄື່ G' (G' band)” ແບບຄວາມຄື່ G' ເປັນແບບທີ່ບ່ານວ່າກີ່ງກາງກີ່ນີ້ແບບຄວາມຄື່ G' ບໍ່ມີການຈັດເຮົາກອີເລີກຕຣອນແບບ sp_2 ອອຽບີທັລຂອງແກຣໄຟຟ (Graphite materials) ດ້ວຍເຫຼຸ້ນວັດຖຸປະກາດທີ່ປາກງູ້ແບບຄວາມຄື່ D ແລະ ແບບຄວາມຄື່ G ບ່ານວ່າວັດຖຸປະກາດຄື່ອທຸກົບນາໂນ (Carbon Nanotube: CNT) ແລະວັດຖຸປະກາດທີ່ປາກງູ້ແບບຄວາມຄື່ G ແລະແບບຄວາມຄື່ G' ບ່ານວ່າວັດຖຸປະກາດຄື່ອກາຟີ (Graphene materials) ຈາກຮູ່ປີ 4.17ກ ວັດຖຸປະກາດນີ້ທີ່ເຕີມລະຫະນິກເກີລຮ້ອຍລະ 5 ໂດຍນ້ຳໜັກປາກງູ້ແບບຄວາມຄື່ທີ່ຕໍ່ແນ່ງແບບຄວາມຄື່ G ແລະ ແບບຄວາມຄື່ G' ນັ້ນແສດງວ່າວັດຖຸປະກາດນີ້ທີ່ເຕີມລະຫະນິກເກີລຮ້ອຍລະ 5 ໂດຍນ້ຳໜັກເປັນວັດຖຸປາກີ່ນີ້ (Graphene materials) ແລະວັດຖຸປະກາດນີ້ທີ່ເຕີມລະຫະນິກເກີລຮ້ອຍລະ 10 ໂດຍນ້ຳໜັກປາກງູ້ແບບຄວາມຄື່ທີ່ຕໍ່ແນ່ງ ແບບຄວາມຄື່ D ແບບຄວາມຄື່ G ແລະ ແບບຄວາມຄື່ G' ນັ້ນແສດງວ່າວັດຖຸປະກາດນີ້ທີ່ເຕີມລະຫະນິກເກີລຮ້ອຍລະ 10 ໂດຍນ້ຳໜັກເປັນວັດຖຸປາກີ່ນີ້ ແລະ ທຸກົບນາໂນ (Carbon Nanotube: CNT) ທີ່ຈຶ່ງພຸດຂອງຮາມານທີ່ໄດ້ສອດຄລ້ອງກັບພຸດຂອງກາພ TEM ແລະສອດຄລ້ອງກັບງານວິຈັດຂອງ Dresselhaus ແລະຄນະ (2010) (ແສດງດັ່ງຮູ່ປີ 4.18) ທີ່ໄດ້

ทำการศึกษาการจำแนกประเภทของวัสดุคาวบอนด้วยรamanスペクトเรียมีอย่างไรก็ตามเมื่อนำตัวอย่างไปเคราะห์



รูปที่ 4.17 สเปกตรารามานของ (g) วัสดุคาวบอนรูปธนูที่รองรับโลหะนิกเกิลร้อยละ 5 โดยน้ำหนักและ (x) วัสดุคาวบอนรูปธนูที่รองรับโลหะนิกเกิลร้อยละ 10 โดยน้ำหนัก หลังจากการเผาให้เป็นคาวบอนที่อุณหภูมิ 800 องศาเซลเซียส ภายใต้ก๊าซไนโตรเจน ที่อัตราส่วนโดยไมล์ระหว่าง R/F เท่ากับ 1:1.4



รูปที่ 4.18 ແຜບความถี่รำนาณສเปกตรາของวัสดุкар์บอนระบบทแบบ sp^2 ออร์บิทัล (Dresselhaus และคณะ (2010))